

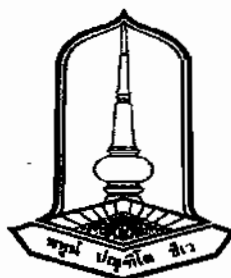
การศึกษาการถ่ายเทความร้อนของระบบจำนวนความร้อนที่ถูกติดตั้งให้หลังคา¹
และบนผ้าเพคาน

นิศากร จันทร์ชื่น

เสนอต่อมหาวิทยาลัยมหาสารคาม เพื่อเป็นส่วนหนึ่งของการศึกษาตามหลักสูตร
ปริญญาวิทยาศาสตรบัณฑิต สาขาวิชสิ่งแวดล้อมและมนุษย์ (สายพัฒนา)

มีนาคม 2555

ลิขสิทธิ์เป็นของมหาวิทยาลัยมหาสารคาม



**Study of Heat Transfer on Thermal Insulating System with Installed
under the Roof and on the Ceiling**

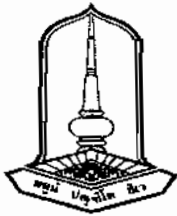
Nisakorn Janchuen

This physics project report present in Partial fulfillment
for the requirements for the Bachelor Science degree in Applied Physics

At Mahasarakham University

March 2012

All rights reserved by Mahasarakham University

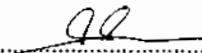


การศึกษาการถ่ายเทความร้อนของระบบอวนความร้อนที่ถูกติดตั้งให้หลังคา¹
และบนผ้าเดคน

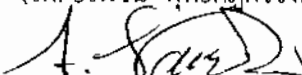
นิศากร จันทร์ชื่น

รายงานปัญหาพิเศษนี้ได้รับการพิจารณาอนุมัติให้นับเป็นส่วนหนึ่งของการศึกษาตามหลักสูตร
วิทยาศาสตรบัณฑิต สาขาวิศวกรรมประยุกต์

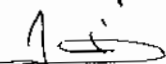
คณะกรรมการตรวจสอบรายงานปัญหาพิเศษ

.....  ประธานกรรมการ

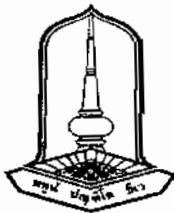
(ศ.ดร. วีรพจน์ พุทธิภานุวัวงศ์)

.....  กรรมการ

(ผศ.ดร. อనุสรณ์ แสงประจักษ์)

.....  กรรมการและอาจารย์ที่ปรึกษา
(อาจารย์ ดร.นิคม นครเรียม)

วันที่ ๗ เดือน พฤษภาคม พ.ศ. ๒๕๕๕



Study of Heat Transfer on Thermal Insulating System with Installed under the Roof and on the Ceiling

Nisakorn Janchuen

This special project has been approved to be partial fulfillment of requirement
for The bachelor of science degree in Applied Physics

Examining committee

Thirapote Chairman

(Assoc. Prof. Thirapote Puthikitakawiwong)

A. Saengprajak Examining Member

(Asst. Prof. Dr. Arnusorn Saengprajak)

Nakornriab NICOM Examining Member and Advisor
(Nakornriab NICOM Dr.Eng.)

Date March 7, 2012

กิตติกรรมประกาศ

โครงการพิสิกส์น้ำเร็วสมบูรณ์ได้ด้วยความกรุณา และความช่วยเหลือในด้านต่างๆ จากท่าน อาจารย์ ดร. นิคม นครเรียน อาจารย์ที่ปรึกษาซึ่งกรุณาให้ความช่วยเหลือให้ความรู้คำแนะนำอย่างเอาใจใส่ในทุกๆ ขั้นตอนในการทำโครงการนี้ ตลอดจนนำโครงการนี้เขียนเสนอ

ขอขอบพระคุณ คณาจารย์ ภาควิชาพิสิกส์ คณะวิทยาศาสตร์ มหาวิทยาลัยมหาสารคาม ที่ได้ให้ความช่วยเหลือและคำแนะนำต่างๆ ด้านวิชาการมาโดยตลอด

ขอขอบพระคุณ คุณเอกพล เพ็ชรนก เจ้าหน้าที่ประจำโรงฝึกงาน ภาควิชาพิสิกส์ คณะวิทยาศาสตร์ มหาวิทยาลัยมหาสารคาม ที่อำนวยความสะดวกในการใช้เครื่องมือและอุปกรณ์ต่างๆ

ขอขอบพระคุณ เพื่อนๆ ภาควิชาพิสิกส์ คณะวิทยาศาสตร์ มหาวิทยาลัยมหาสารคาม ทุกคนที่ให้ความช่วยเหลือและคำแนะนำต่างๆ ทั้งในเรื่องวิชาการ งานวิจัยและเรื่องส่วนตัว

ขอกราบขอบพระคุณ คุณพ่อ คุณแม่ และทุกๆ คนในครอบครัวที่เอ้าใจใส่ดูแล ให้กำลังใจ และสนับสนุนในทุกสิ่งตลอดมา

นิศากร จันทร์ชื่น



ชื่อเรื่อง	การศึกษาการถ่ายเทความร้อนของระบบถนนความร้อนที่ถูกติดตั้งให้หลังคาและบนฝ้าเพดาน
ผู้วิจัย	นิตากร จันทร์ชื่น
อาจารย์ที่ปรึกษา	อ.ดร. นิคม นครเรียบ
ปริญญา	วิทยาศาสตรบัณฑิต สาขาวิศวกรรมประยุกต์ (พัฒนา)
สถาบัน	มหาวิทยาลัยมหาสารคาม ปีที่พิมพ์ มีนาคม 2555

บทคัดย่อ

งานวิจัยนี้มีจุดประสงค์เพื่อศึกษาการถ่ายเทความร้อนของระบบถนนความร้อนที่ถูกติดตั้งกับหลังคาและฝ้าเพดานพร้อมทั้งค้นหาวิธีการติดตั้งระบบถนนกับความร้อนให้เกิดประสิทธิภาพสูงสุด โดยทำการวัดอุณหภูมิจากแบบบ้านจำลองซึ่งมี ขนาดความกว้าง 1.2 m และขนาดความยาว 1.2 m หลังคามุงด้วยกระเบื้องซีแพคไมเนีย ทำการทดลองโดยเปลี่ยนชนิดของฝ้าเพดานและชนิดของแผ่นอลูมิเนียมฟอยล์ที่ถูกติดตั้งให้แผ่นมุงหลังคา ทำการวัดอุณหภูมิที่ตำแหน่งต่างๆ (บนหลังคา, บนแผ่นอลูมิเนียมฟอยล์, ใต้แผ่นอลูมิเนียมฟอยล์, บนฝ้าเพดาน) ในเวลาช่วงกลางวัน จากการทดลองแสดงให้เห็นว่า ความเข้มของแสงแดดและลมมีผลโดยตรงต่อความร้อนต่อกลไกทบทหลังคา ยิ่งความเข้มของแสงแดดยิ่งมากและไม่มีลมส่งผลให้หลังคามีอุณหภูมิสูง ซึ่งจะห้อนให้เห็นถึงอุณหภูมิจากหลังคาและฝ้าเพดาน การใช้แผ่นอลูมิเนียมฟอยล์ชนิดหน้าเดียวร่วมกับฝ้าเพดานแผ่นเรียบ อุณหภูมิที่ฝ้าเพดานต่ำที่สุดเนื่องจากการสะท้อนความร้อนของแผ่นอลูมิเนียมฟอยล์และค่าความจุความร้อนของฝ้าเพดานตั้งนั้นทางเลือกที่ดีที่สุดเกี่ยวกับการประหยัดพลังงานและค่าใช้จ่าย คือ การเลือกใช้แผ่นอลูมิเนียมฟอยล์ชนิดหน้าเดียวร่วมกับฝ้าเพดานชนิดแผ่นเรียบ การติดตั้งถนนความร้อนบนฝ้าเพดานทำหน้าที่เป็นถนนกับความร้อนในช่วงเวลากลางวันและคลายความร้อนออกมายังช่วงเวลากลางคืน

คำสำคัญ : ห้องใต้หลังคา, หลังคา, ฝ้าเพดาน, การถ่ายเทความร้อน, แผ่นอลูมิเนียมฟอยล์, ฝ้าเพดานชนิดสะท้อนความร้อน, ความจุความร้อน

TITLE	Study of Heat Transfer on Thermal Insulating System with Installed under the Roof and on the Ceiling
AUTHOR	Nisakorn Janchuen
ADVISER	Nakornriab NICOM, Dr.Eng.
DEGREE	Bachelor of science Major Applied Physics (B.Sc. Applied Physics)
UNIVERSITY	Mahasarakham University March 2012

Abstract

This work aims to evaluate the heat transfer of thermal insulating system with installed under the roof and on the ceiling. The optimization of roofing and ceiling installation are investigated. A typical attic with dimension of 1.20 m in width and 1.20 m in length is constructed to measure the temperature profile. Namely CPAC monier is used as a roof sheet. Dual and single faces of aluminum foils are used to reflect the heat wave under the roof sheet. Thermal insulator and reflecting broad are used to reflect the heat wave on the ceiling. The temperature profiles at the various positions (on the roof, on the foil, below the foil and on the ceiling) are measured in the daytime. Experimental results show that the heat on the roof depends upon the sunlight and win. A strong sunlight with no win leads to be a high temperature. In order to reflect the heat wave from the roofing and ceiling, a dual face foil should be selected. The usage of single face foil with normal ceiling provides the lowest temperature on the ceiling because of the heat reflection of foil and a low heat capacity of ceiling. This is a prospect to be the best condition of this work with low cost and temperature. In addition, the usage of thermal insulator concerns a heat barrier in the daytime, but the heat will be released in the night time.

Keywords:Attic, Roofing, Ceiling, Heat transfer, Aluminum foil, Heat wave reflection, Heat capacity.

สารบัญ

บทที่	หน้า
กิตติกรรมประกาศ	๑
บทคัดย่อภาษาไทย	๒
บทคัดย่อภาษาอังกฤษ	๓
สารบัญ	๔
สารบัญตาราง	๕
สารบัญภาพประกอบ	๖
บัญชีสัญลักษณ์	๗
 1. บทนำ	 1
1.1 หลักการและเหตุผล	1
1.2 วัตถุประสงค์	2
1.3 ขอบเขตงานวิจัย	2
1.4 ประโยชน์ที่คาดว่าจะได้รับ	3
 2. ทฤษฎีและงานวิจัยที่เกี่ยวข้อง	 4
2.1 โครงสร้างหลังคา	4
2.2 ความร้อนจากรังสีอาทิตย์ที่หลังคาได้รับ	8
2.3 การถ่ายเทความร้อนเข้าสู่หลังคา	9
2.4 งานวิจัยที่เกี่ยวข้อง	14
 3. ขั้นตอนการดำเนินงาน	 18
3.1 ขั้นตอนการดำเนินงาน	18
3.2 อุปกรณ์และเครื่องมือวัดที่ใช้ในการทดสอบ	20

สารบัญ (ต่อ)

บทที่	หน้า
4. ผลการทดลองและอภิปรายผล	21
4.1 อุณหภูมิดำเนินแห่งหลังคา	22
4.2 การกระจายอุณหภูมิภายในห้องใต้หลังคา	23
4.3 อุณหภูมิดำเนินแห่งน้ำอุ่นในถังฟอยล์	25
4.4 อุณหภูมิบนเตาเผา	28
4.5 การถ่ายเทความร้อนภายในห้องใต้หลังคา.....	32
5. สรุปผลการทดลองและข้อเสนอแนะ	33
5.1 สรุปผลการทดลอง	33
5.2 ข้อเสนอแนะ	34
บรรณานุกรม	35
ประวัติย่อของผู้เขียน	60



สารบัญตาราง

ตาราง

หน้า

ตารางที่ 3.1 แสดงลักษณะการเปลี่ยนแปลงสภาพการทดลองของห้องได้หลังค่า.....	19
---	----

สารบัญรูปภาพ

รูปที่	หน้า
รูปที่ 2.1(ก) : แสดงส่วนประกอบต่างๆ ของโครงสร้างหลังคามุนของด้านข้าง.....	4
รูปที่ 2.1(ข) : แสดงส่วนประกอบต่างๆ ของโครงสร้างหลังคามุนของด้านบน.....	5
รูปที่ 2.2 : แสดงลักษณะของความร้อนที่ได้รับจากการเผาตัวอย่างอาชีวศึกษา.....	8
รูปที่ 2.3 : แสดงการถ่ายเทความร้อนในระบบหลังคา	10
รูปที่ 3.1 : แสดงการดำเนินการวัดอุณหภูมิ	18
รูปที่ 4.1: แสดงความสัมพันธ์ระหว่างอุณหภูมิบนหลังคา (T_1) ในช่วงเวลากลางวันที่มีเงื่อนไขการทดลองที่แตกต่างกัน.....	21
รูปที่ 4.2: แสดงความสัมพันธ์ระหว่างเวลา กับ อุณหภูมิของการกระจายอุณหภูมิในห้องใต้หลังคา	22
รูปที่ 4.3 : แสดงการกระจายความร้อนของสภาวะแผ่นดินอุ่นเนื่องจากสภาวะที่ห้องใต้หลังคา	24
รูปที่ 4.4 (ก) : แสดงความสัมพันธ์ระหว่างอุณหภูมิบนฟอยล์ (T_2) ในช่วงเวลากลางวันที่มีเงื่อนไขการทดลองที่แตกต่างกัน.....	24
รูปที่ 4.4 (ข) : แผนภาพแสดงการเปรียบเทียบอย่างง่ายจากสภาวะทดลองในรูปที่ 4.4 (ก).....	25
รูปที่ 4.5 (ก) : แสดงความสัมพันธ์ระหว่างอุณหภูมิต่ำกว่าฟอยล์ (T_3) ในช่วงเวลากลางวันที่มีเงื่อนไขการทดลองที่แตกต่างกัน.....	26
รูปที่ 4.5 (ข) : แผนภาพแสดงการเปรียบเทียบอย่างง่ายจากสภาวะทดลองในรูปที่ 4.5 (ก).....	26
รูปที่ 4.6 (ก) : แสดงความสัมพันธ์ระหว่างอุณหภูมิบนฟอยล์ (T_4) ในช่วงเวลากลางวันที่มีเงื่อนไขการทดลองที่แตกต่างกัน.....	29
รูปที่ 4.6 (ข) : แผนภาพแสดงการเปรียบเทียบอย่างง่ายจากสภาวะทดลองในรูปที่ 4.6 (ก)	29
รูปที่ 4.7 : แสดงความสัมพันธ์ระหว่างค่าการถ่ายเทความร้อนกับเวลาในช่วงเวลากลางวันที่มีเงื่อนไขการทดลองที่แตกต่างกัน.....	30
รูปที่ 4.8 : แสดงการเปรียบเทียบค่าการถ่ายเทความร้อนในช่วงเวลากลางวันที่มีเงื่อนไขการทดลองที่แตกต่างกัน	31

สารบัญสัญลักษณ์

สัญลักษณ์	ความหมาย
A	พื้นที่แลกเปลี่ยนความร้อน, m^2
g	ความเร่งเนื่องจากแรงโน้มถ่วงของโลก มีหน่วยเป็น $m.s^{-2}$
k	ค่าการนำความร้อนของแผ่นอลูมิเนียมฟอยล์หน่วยเป็น $W.m^{-1}.C^{-1}$
L	ความหนาของแผ่นอลูมิเนียมฟอยล์ มีหน่วยเป็น m
Nu	ตัวเลขนัสเซลท์ (Nusselt Number,Nu)
Pr	ตัวเลข พรันท์ (prandtl Number,Pr)
Q	ปริมาณการถ่ายเทความร้อน, W
R ₁	ความต้านทานตัวที่หนึ่งระหว่างกระเบื้องซีแพคไมเนียกับบนแผ่นอลูมิเนียมฟอยล์ (Ω)
R ₂	ความต้านทานตัวที่สองระหว่างบนแผ่นอลูมิเนียมฟอยล์กับใต้แผ่นอลูมิเนียมฟอยล์ (Ω)
R ₃	ความต้านทานตัวที่สามระหว่างได้แผ่นอลูมิเนียมฟอยล์กับบนฝ้าเพดาน (Ω)
R ₄	ความต้านทานตัวที่สี่ระหว่างฝ้าเพดานกับสภาพแวดล้อม (Ω)
Ra	ตัวเลขเรย์เลย์ (Rayleigh Number,Ra)
T _{cp}	อุณหภูมิที่ตำแหน่งกระเบื้องซีแพคไมเนียหน่วยเป็นเคลวิน (K)
T _F	อุณหภูมิแผ่นบนอลูมิเนียมฟอยล์ มีหน่วยเป็น เคลวิน (K)
T _{BF}	อุณหภูมิแผ่นใต้อลูมิเนียมฟอยล์ มีหน่วยเป็น เคลวิน (K)
T _C	อุณหภูมิฝ้าเพดาน มีหน่วยเป็น เคลวิน (K)
T _a	อุณหภูมิสภาพอากาศ มีหน่วยเป็น เคลวิน (K)
U	ค่าสัมประสิทธิ์การถ่ายเทความร้อนรวม, $W.m^{-1}.K^{-1}$
ΔT	ผลต่างของอุณหภูมิแลกเปลี่ยนความร้อน, K
σ	ค่าคงที่สเตฟัน-โบลท์ซมันน์ มีค่าเท่ากับ $5.6697 \times 10^{-8} W.m^{-2}.k^{-4}$
ε_{cp}	ค่าการแผ่รังสีความร้อนของกระเบื้องซีแพคไมเนีย
ε_F	ค่าการแผ่รังสีความร้อนบนแผ่นอลูมิเนียมฟอยล์
ε_{BF}	ค่าการแผ่รังสีความร้อนใต้แผ่นอลูมิเนียมฟอยล์

สารบัญสัญลักษณ์ (ต่อ)

สัญลักษณ์	ความหมาย
E_c	ค่าการแพร่รังสีความร้อนผ้าเพดาน
β'	สัมประสิทธิ์การขยายตัวเชิงปริมาตร(สำหรับกําชอุดมคติ $\beta' = \frac{1}{r}$)
η	ความหนืดคิโนเมติก (Kinematic Viscosity) มีหน่วยเป็น $m^2.s^{-1}$
α	ค่าสภาพการแพร่ความร้อน มีหน่วยเป็น $m^2.s^{-1}$

สภาวะการทดลอง

DN	พอยล์ชนิดสองหน้า +ผ้าเพดานชนิดแผ่นเรียบ
DNI	พอยล์ชนิดสองหน้า +ผ้าเพดานชนิดแผ่นเรียบ+อนวนไยแก้ว
DRI	พอยล์ชนิดสองหน้า +ผ้าเพดานชนิดสะท้อนความร้อน+อนวนไยแก้ว
DR	พอยล์ชนิดสองหน้า +ผ้าเพดานชนิดสะท้อนความร้อน
SR	พอยล์ชนิดหน้าเดียว +ผ้าเพดานชนิดสะท้อนความร้อน
SRI	พอยล์ชนิดหน้าเดียว+ผ้าเพดานชนิดสะท้อนความร้อน+อนวนไยแก้ว
SN	พอยล์ชนิดหน้าเดียว +ผ้าเพดานชนิดแผ่นเรียบ
SNI	พอยล์ชนิดหน้าเดียว +ผ้าเพดานชนิดแผ่นเรียบ+อนวนไยแก้ว
NI	ผ้าเพดานชนิดแผ่นเรียบ+อนวนไยแก้ว
RI	ผ้าเพดานชนิดสะท้อนความร้อน+อนวนไยแก้ว

บทที่ 1

บทนำ

1.1 หลักการและเหตุผล

หลังคาบัวเป็นส่วนที่สำคัญของบ้านส่วนหนึ่ง เนื่องจากทำหน้าที่ป้องกันแดด ฝน พายุ และป้องพื้นที่ภายในบ้านและอาคารให้พ้นจากภัยธรรมชาติและสภาพแวดล้อมภายนอกหลังคาที่ได้รับการออกแบบมาอย่างดีสามารถป้องกันไม่ให้อุณหภูมิของพื้นที่ที่อยู่ใต้หลังคามีอุณหภูมิสูงกว่าอุณหภูมิของอากาศภายนอกบ้าน สามารถรักษาอุณหภูมิที่ผิวของฝ้าเพดานให้อยู่ในระดับเดียวกับอุณหภูมิที่ผิวสัมผสุกอ่อนๆ ภายในห้อง นั่นคือ หลังคามีประสิทธิภาพสามารถป้องกันความร้อนให้ถ่ายเทเข้าสู่ตัวบ้านได้ดีอยู่ในระดับเดียวกับองค์ประกอบอื่นๆ ของบ้านและอาคาร รูปลักษณ์ของหลังคา นับเป็นองค์ประกอบหลักอีกอย่างหนึ่งในการสร้างสรรค์รูปทรงของบ้าน อาคารให้ดูงาม สะอาด และสอดคล้องกับประยุษ์การใช้สอย โดยรูปลักษณ์หลังคาบ้านที่นิยมมากที่สุดในเมืองไทย ก็คือ หลังคาแบบหน้าจั่วและหลังคาแบบปันหยา ส่วนหลังคาแบบเพิงหนาแห่งนี้ มีลักษณะอ่อนไหวไปต้านดีขาด และยังเป็นส่วนหนึ่งของรูปลักษณ์ของหลังคาน้ำดี ซึ่งมีรากฐาน แล้วก่อสร้างได้ง่าย ฝ้าเพดาน เป็นองค์ประกอบอีกส่วนหนึ่งของหลังคา เนื่องจากช่วยปกปิดความไม่เรียบร้อยต่างๆ ของหลังคา เช่น ห่อ หรือสายไฟ ตลอดจนผู้คนของต่างๆ ออกจากบ้านช่วยลดความร้อนที่ลงมาจากการหลังคาสู่ตัวบ้าน อาคาร

จำนวนความร้อนเป็นวัสดุที่ด้านหน้าและป้องกันความร้อนที่ส่งผ่านจากด้านหนึ่งไปยังด้านหนึ่ง ได้สัดส่วน จำนวนกันความร้อนที่ต้องมีน้ำหนักเบาและมีสมบัติในการด้านหน้าความร้อนได้ดี สำหรับการติดตั้งจำนวนความร้อนสามารถช่วยปรับสภาพอากาศร้อนมาสู่อากาศเย็นตามปกติ หรือทำให้อากาศเย็นลง ในขณะที่เครื่องปรับอากาศไม่ต้องทำงานหนักจนเกินไปในการดึงเอาความร้อนที่สะสมอยู่ได้ หลังคา ได้ฝ้าเพดาน หรือผนังปูน ภายใต้อาคารส่งผลให้อากาศเย็นลง ดังนั้นการติดตั้งจำนวนความร้อน จึงทำให้เกิดการประหยัดพลังงาน ช่วยลดค่าไฟฟ้าจากเครื่องปรับอากาศรวมถึงประหยัดค่าใช้จ่ายจากการใช้เครื่องปรับอากาศขนาดเล็กลงได้

ในขั้นตอนการติดตั้งจำนวนความร้อนที่สำคัญที่ต้องระวัง คือ จำนวนส่วนใหญ่หากเปียกหรือเกิดความชื้นจะมีประสิทธิภาพในการป้องกันความร้อนลดลงและอาจจะสร้างปัญหาให้ การใช้ควรจะมีวัสดุห่อ-หุ้มเพื่อป้องกันความชื้น เช่น แผ่นอลูมิเนียมฟอยล์ แผ่นอลูมิเนียมฟอยล์ทำจากอลูมิเนียมซึ่งเป็นโลหะที่มีความคงทน ทำให้มีค่าการนำความร้อนต่ำ มีสมบัติจะห้อนรังสีความร้อนได้ดี โดยใช้ความร้อนจากแผ่นอะลูมิเนียมที่ติดตั้งไว้บนหลังคาน้ำดี ในการติดตั้งจะติดตั้งได้หลังคา โดยมีระยะห่างจากหลังคาเพื่อให้อากาศช่วยถ่ายเทความร้อนออก สำหรับแผ่นอลูมิเนียมฟอร์ยที่มีจำานวนต้องตลาด คือแผ่นอลูมิเนียมฟอยล์ชนิดหน้าเดียวและแผ่นอลูมิเนียมฟอยล์ชนิดหน้าคู่ สำหรับผู้ที่นำแผ่นอะลูมิเนียม ฟอร์ยไปใช้งานยังไม่สามารถที่จะเลือกได้ว่าชนิดไหนมีประสิทธิภาพการใช้งานดีกว่ากัน สำหรับผู้บริโภคยังไม่ทราบข้อจำกัดนี้ และผู้ผลิตก็ยังไม่สามารถแก้ไขข้อจำกัดนี้ได้

จากปัญหาที่พบจึงได้มีการศึกษาการถ่ายเทความร้อนของระบบอุณหภูมิที่ถูกติดตั้งกับหลังคา และผู้เดาและค้นหาวิธีติดตั้งระบบอุณหภูมิเพื่อให้เกิดประสิทธิภาพสูงสุด เพื่อที่จะได้นำไปใช้งานให้มีประสิทธิภาพสูงสุดและอายุการใช้งานยาวนาน โดยเชือแผ่นอลูมิเนียมฟอยล์จะทำหน้าที่ในการสะท้อนคลื่นความร้อนได้ดี และยังไม่มีความแน่นอนที่จะใช้ผู้เดาที่มีการอาจอะลูมิเนียม และยังไม่มีความแน่ใจในเรื่องของการเลือกใช้แผ่นอลูมิเนียมฟอยล์ชนิดหน้าเดียวหรือแผ่นอลูมิเนียมฟอยล์ชนิดหน้าคู่ ซึ่งสามารถสังเกตได้จากการที่ผู้ผลิตแผ่นอลูมิเนียมฟอยล์นำออกมากำหนดัยให้กับผู้บริโภคดังนั้น งานวิจัยนี้จึงมุ่งเน้นศึกษาการถ่ายเทความร้อนของระบบอุณหภูมิที่ถูกติดตั้งให้หลังคากลับน้ำผู้เดาเพื่อค้นหาวิธีการติดตั้งระบบอุณหภูมิที่ถูกติดตั้งให้เกิดประสิทธิภาพมากที่สุด

1.2 วัตถุประสงค์

1.2.1 เพื่อวัดการถ่ายเทความร้อนของระบบอุณหภูมิที่ถูกติดตั้งกับให้หลังคากลับน้ำผู้เดา

1.2.2 เพื่อวิเคราะห์ทางเลือกการติดตั้งระบบอุณหภูมิที่ถูกติดตั้งให้เกิดประสิทธิภาพสูงสุด

1.3 ขอบเขตงานวิจัย

1.3.1 ลักษณะการมุงหลังคากลับน้ำผู้เดา

1.3.2 วัสดุมุงหลังคากลับน้ำผู้เดาที่ใช้ในการทดสอบการถ่ายเทความร้อนของระบบอุณหภูมิกับความร้อน

- ชีแพค โนเนีย สีน้ำตาล

1.3.3 ชนิดของแผ่นอลูมิเนียมฟอยล์ที่ถูกติดตั้งได้แผ่นมุงหลังคางานซึ่งใช้ในการทดสอบการถ่ายเทความร้อนของระบบอุณหภูมิกับความร้อนเพื่อค้นหาวิธีการติดตั้งระบบอุณหภูมิที่ถูกติดตั้งให้เกิดประสิทธิภาพสูงสุด

- แผ่นอลูมิเนียมฟอยล์ชนิดหน้าเดียว

- แผ่นอลูมิเนียมฟอยล์ชนิดหน้าคู่

1.3.4 ชนิดของผู้เดาที่ถูกติดตั้งได้แผ่นมุงหลังคางานซึ่งใช้ในการทดสอบการถ่ายเทความร้อนของระบบอุณหภูมิที่ถูกติดตั้งให้เกิดประสิทธิภาพสูงสุด

- ผู้เดาชนิดกระเบื้องแผ่นเรียบ

- ผู้เดาชนิดสะท้อนความร้อน

1.3.6 ขนาดบ้านตัวอย่างที่ใช้ในการศึกษาการถ่ายเทความร้อนของระบบอุณหภูมิที่ถูกติดตั้งให้เกิดประสิทธิภาพสูงสุด

แบบจำลองบ้าน - ขนาดของตัวบ้าน ความกว้าง 120 cm. ความยาว 120 cm.

- ขนาดของหลังคा ความลาดชันของหลังค่า 30 องศา ความสูงของหลังค่า 82 cm ความลาดเอียงของหลังค่า 200 cm

1.4 ประโยชน์ที่คาดว่าจะได้รับ

- 1.4.1 มีความเข้าใจเกี่ยวกับระบบความร้อนที่เข้าสู่บ้าน
- 1.4.2 มีความเข้าใจเกี่ยวกับระบบจำนวนความร้อนที่ถูกติดตั้งให้หลังคาและบนฝ้าเพดาน
- 1.4.3 ได้วิธีการติดตั้งระบบจำนวนความร้อนให้เกิดประสิทธิภาพสูงสุด
- 1.4.4 ได้ข้อมูลประสิทธิภาพของระบบจำนวนความร้อนที่ถูกติดตั้งให้หลังคาและบนฝ้าเพดาน

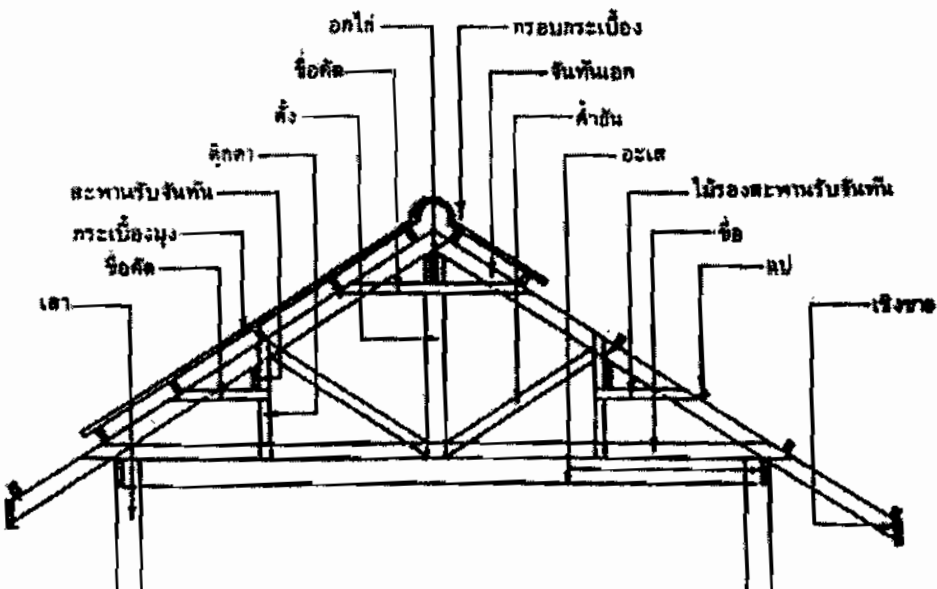
บทที่ 2

หดุษภีและงานวิจัยที่เกี่ยวข้อง

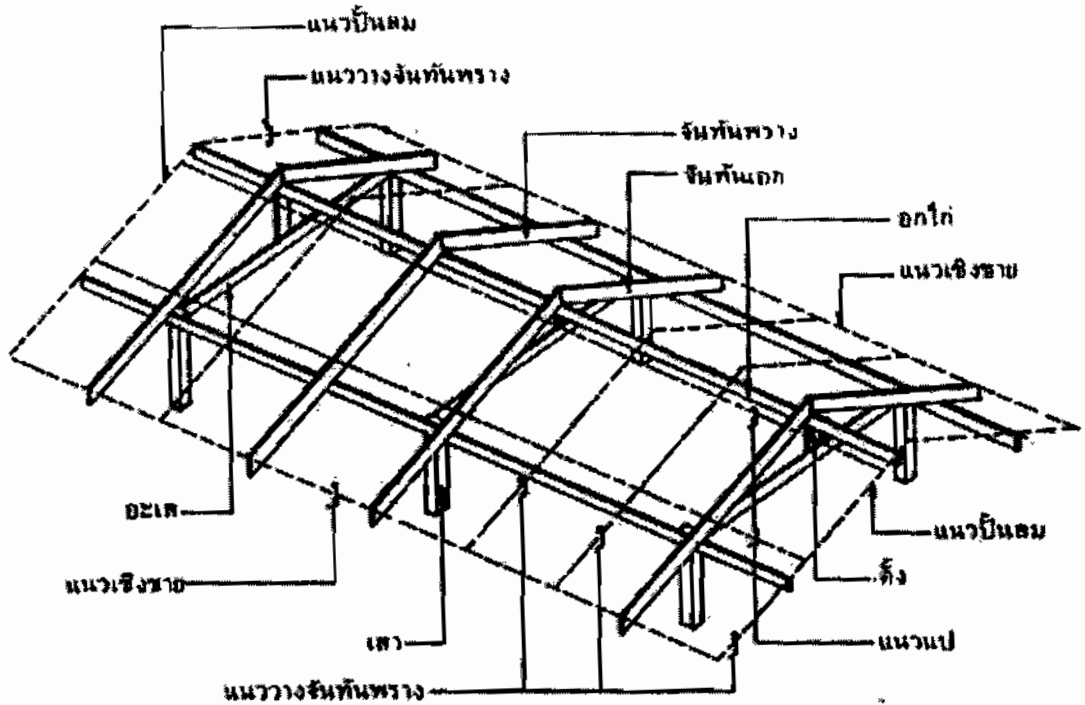
2.1 โครงสร้างหลังคา

หลังคานับว่าเป็นส่วนที่สำคัญของบ้านส่วนหนึ่ง เนื่องจากทำหน้าที่ป้องกันแดด ฝน พายุ และป้องพื้นที่ภายในบ้านและอาคารให้พ้นจากภัยธรรมชาติและสภาพแวดล้อมภายนอกหลังคาที่ได้รับการออกแบบมาอย่างดีจะช่วยป้องกันไม่ให้อุณหภูมิของที่นอนที่อยู่ใต้หลังคามีอุณหภูมิสูงกว่าอุณหภูมิของอากาศภายนอกบ้าน สามารถรักษาอุณหภูมิที่ผิวของผ้าเพดานให้อยู่ในระดับเดียวกับอุณหภูมิที่ผิววัสดุอื่นๆ ภายใต้ห้อง นั่นคือ หลังคามีประสิทธิภาพจะสามารถป้องกันความร้อนให้ถ่ายเทเข้าสู่ตัวบ้านได้ดีอยู่ในระดับเดียวกับองค์ประกอบอื่นๆ ของบ้านและอาคาร รูปลักษณ์ของหลังคานับเป็นองค์ประกอบสำคัญอีกอย่างหนึ่งในการสร้างสรรค์รูปทรงของบ้าน อาคาร ให้ดูงาม และสอดคล้องกับประโยชน์การใช้สอย ซึ่งในการวิจัยนี้ได้เลือกลักษณะการมุงหลังคางานเป็นแบบเพิงหมาแหงน เนื่องจากหลังคางานเพิงหมาแหงน เป็นหลังคาน้ำที่ยกให้อีกด้านสูงกว่าอีกด้านหนึ่ง เพื่อให้สามารถระบายน้ำฝนได้ และยังเป็นส่วนหนึ่งของหลังคาน้ำที่ล่างกว่าระดับบ้านขนาดเล็ก เนื่องจากก่อสร้างง่าย รวดเร็ว ราคาประหยัด โดยมีรายละเอียดของการมุงหลังคาน้ำที่ไปนี้

2.1.1 ส่วนประกอบต่างๆ ของหลังคามีดังนี้



รูปที่ 2.1(g) : แสดงส่วนประกอบต่างๆ ของโครงสร้างหลังคามุ่มมองด้านข้าง (Novabizz, 2012 : เว็บไซต์)



รูปที่ 2.1 (ข) : แสดงส่วนประกอบต่างๆ ของโครงสร้างหลังคา มุมมองด้านบน (Novabizz, 2012 : เว็บไซต์)

จากรูป 2.1 สามารถอธิบายการทำงานของส่วนต่างๆได้ดังนี้

1. อะเส คือส่วนของโครงหลังคาที่วางพาดอยู่บนหัวเสา ลักษณะคล้ายคาน ทำหน้าที่ยึดและรักษาเสา และยังทำหน้าที่รับแรงจากโครงหลังคาถ่ายลงสู่เสาอีกด้วย โดยที่นำไปแล้วในการวางอะเส มักจะวางทางด้านริมนอกของเสาและวางเฉพาะด้านที่มีความลาดเอียงของหลังคา ดังนั้นหลังคามีนิล่า (Gable Roof) จะมีอะเสเหล็กเที่ยง 2 ด้าน ในขณะที่หลังคากันน้ำ (Hip Roof) จะมีอะเสเหล็ก 4 ด้าน

2. ชื่อ คือส่วนของโครงสร้างที่ว่าอยู่บนหัวเสาในทิศทางเดียวกัน กับจันทัน ทำหน้าที่รับแรงดึงและยึดหัวเสา ในแนวความสกัด และข่วยยึดโครงผนัง

3. ดังเอกสารคือส่วนของโครงสร้างที่อยู่ในแนวสันหลังคา โดยวางอยู่บนชื่อตัวฉากตรงขึ้นไป โดยมีลักษณะตามแนวสันหลังคาเป็นตัวยีด

4. อกไก่ คือส่วนของโครงสร้างที่วางพาดอยู่เหนือเรือนสันหลังคาน ทำหน้าที่รับจับหัน

5. จันทัน คือส่วนของโครงสร้างที่วางอยู่บนหัวเสา โดยวางพาดอยู่บนอะเสลแล็อกไก่รองรับ
แป๊ะ หรือระแนงที่รับกระเบื้องมุงหลังคา จันทันยังแบ่งเป็นจันทันเอกสาร จันทันที่วางอยู่บนหัวเสาและ
จันทันที่ไม่ได้วางพาดอยู่บนหัวเสา โดยทั่วไปจันทันจะวางทุกรายะประมาณ 1.00 m. โดยระยะห่างของ
จันทันขึ้นอยู่กับน้ำหนักของวัสดุมุงหลังคาและระยะแปดตัววิ

6. ແພຣອະນາງ ຄືອສ່ວນຂອງໂຄຮສ້າງທີ່ວາງອູ່ບັນຈັນທັນ ຮອງຮັບວັສດຸມຸງຫລັງຄາປະເກທ
ດ່າງໆ ໂດຍວາງໝານກັບແນວອກໄກ ເຮັມຈາກສ່ວນທີ່ຕໍ່ສຸດໄປສູ່ສ່ວນທີ່ສູງລຸດຂອງຫລັງຄາ

7. ເຊີ່ຍ ຄືອສ່ວນຂອງໂຄຮສ້າງທີ່ປິດອູ່ບັນຈັນທັນ ເພື່ອປັດຄວາມໄມ່ເຮັບຮ້ອຍ
ຂອງປາຍຈັນທັນ ອີກທີ່ຍັງເປັນສ່ວນທີ່ໃຫຍ້ດໍເລື້ອກຮັບຮາງນໍາແລະຍັງທໍາໜ້າທີ່ເປັນແຜ່ປິດດ້ານສັກດີຂອງຈັນທັນ
ທີ່ຂ່າຍກັນນີ້ໄຟຟ້າລາຍຍັ້ນກັບດ້ວຍ

8. ປັ້ນລົມ ຄືອສ່ວນຂອງໂຄຮສ້າງທີ່ປິດໄມ້ໄຫ້ເຫັນສັນກະບົ້ອງທາງດ້ານໜ້າຈົ້າ ແລະປິດຫັ້ວແປ ຈະ
ໃຊ້ກັບອາຄາປະເກທີ່ໜ້າຈົ້າເທົ່ານັ້ນ

9. ນີ້ປິດລອນ ມີເນື້ອເຫັນວ່າມີຄວາມລອນກະບົ້ອງ ເປັນນີ້ທີ່ມີລັກຝານະໂດັ່ງຕາມໝາດລອນຂອງວັສດຸມຸງ
ຫລັງຄາ ເພື່ອປິດຊ່ອງວ່າຮ່າງປາຍຈະບົ້ອງກັບເຊີ່ຍກັນນັກແລະແມ່ລົງເລື້ອດເຂົ້າໄປກ່ອງຄວາມຮໍາຄາລູ
ໃນບ້ານຂອງທ່ານ

10. ຕະເໜ່ສັນ ຈະອູ່ບັນຈັນຄຣອບມຸນຫລັງຄາ ທີ່ຄວາມລາດເອີ້ງ 2 ດ້ານນາບຮຽບກັນ ໂດຍທັນ
ໜ້າອອກຈາກກັນ ໂດຍມີຄຣອບກະບົ້ອງແລະວັສດຸມຸງອີກທີ່

11. ຕະເໜ່ຮ່າງ ເປັນສ່ວນທີ່ຄວາມລາດເອີ້ງຂອງຫລັງຄາສອງດ້ານນາມຂັນກັນເປັນຮ່າງ ຜົ່ງບັນຈັນສ່ວນນີ້
ຈໍາເປັນຈະດ້ອງມີຮາງນໍາ ເພື່ອຮະບາຍໜ້າອອກຈາກ ຫລັງຄາ

2.1.2 ວັສດຸມຸງຫລັງຄາ

ກະບົ້ອງຄອນກົດທີ່ໂຄຮເບື້ອງຊີມັນດີ ວັສດຸມຸງຫລັງຄານີດນີ້ມີຄວາມແໜ້ງແຮງແລະ
ສາຍາງານແດ່ມີຄວາມຄ່ອນຂັງແພຳ ແລະມີນໍາຫັນກຳນົກ ທີ່ໄດ້ໂຄຮຫລັງຄາທີ່ຈະມູນດ້ວຍກະບົ້ອງໝັດນີ້ຕ້ອງ
ແໜ້ງຮັບເຂົ້າໃຫຍ້ກັບວັສດຸມຸງຫລັງຄາ ກະບົ້ອງຊີມັນດີນີ້ຢູ່ 2 ຊົນດ້ວຍກັນ ສຶ່ງ ກະບົ້ອງສື່ເໜີຍ
ໝານເປົກປູ່ນ ໝາດເລັກທີ່ໃຫຍ້ມີກັບຫລັງຄາທີ່ມີຄວາມລາດເອີ້ງຕັ້ງແຕ່ 30-45 ອົງຄາ ສ່ວນອີກໝັດນີ້ເປັນ
ກະບົ້ອງທີ່ເຮັດວຽກກັນວ່າ ກະບົ້ອງຊີ່ແພຳໂນນີ້ເປົ້າມາການຮັບຮັດມຸນຫລັງຄາໃນຄວາມຫັນຕັ້ງແຕ່ 17 ອົງຄາເກື່ອນໄປ

ການເລືອກວັສດຸມຸງຫລັງຄາຄືອ ໂຄຮຫລັງຄາ ເພີ້ວວັສດຸມຸງທີ່ມີນໍາຫັນກຳນົກ ກົດເພີ້ວມີຄວາມໂຄຮ
ຫລັງຄາ ທີ່ຈະມາຮັບໜ້າຫັນກັບວັສດຸມຸງ ໄດ້ເໜີອັນກັນ ຮະຍະລັກຝານະຂອງການທັບໜ້ອນ ຮະຍະແລະມຸນລາດເອີ້ງ
ຂອງຫລັງຄາ ມີລັກຝານະຕັ້ງຕ້ອງໄປນີ້

1. ຄວາມລາດຫັນຂອງຫລັງຄາ 10-20 ອົງຄາ ຮະຍະທັບໜ້ອນ 20 cm.
2. ຄວາມລາດຫັນຂອງຫລັງຄາ 21-40 ອົງຄາ ຮະຍະທັບໜ້ອນ 15 cm.
3. ຄວາມລາດຫັນຂອງຫລັງຄາ 41-60 ອົງຄາ ຮະຍະທັບໜ້ອນ 10 cm.
4. ຄວາມລາດຫັນຂອງຫລັງຄາ 60 ອົງຄາເກື່ອນໄປຮະຍະທັບໜ້ອນ 5 cm.

ຮະຍະທັບໜ້ອນດັ່ງກ່າວເປັນຮະຍະອ່າງນ້ອຍ ພາກນາກກວ່ານີ້ມີວ່າກັນ ແຕ່ຈະທຳໄຫ້ປັບປຸງວັສດຸມຸງ
ຫຼັງອີກ ວັສດຸມຸງທີ່ໃຫຍ້ສໍາຮັບງານຫລັງຄາ ອີກຫຼັງ ກົດເພີ້ວມີຄວາມເລືອກຈ່າຍ ທີ່ຄື່ອ ເລືອກຄຣອບຫລັງຄາ
ໝັດເດືອຍກັນ ກັບກະບົ້ອງມຸນຫລັງຄາ ສ່ວນໃຫຍ້ເຂົ້າໃຈພລິດມາຄູ່ກັນຄວາມອົງຄາ ທີ່ນີ້ມີໃຫ້ ເປັນສ່ວນໃຫຍ້ ເຊັ່ນ
ຄຣອບຫລັງຄາ 30, 35, 40 ອົງຄາ ພາກເປັນມຸນລາດຫັນອື່ນ ຖໍ່ກື້ຂໍຄຣອບຫລັງຄາປູ່ນັ້ນ ຜົ່ງຕ້ອງທຳມານ
ແບບອ່າງເຄື່ອງຄົວດັບ ແລະກື້ນເລີ່ມທີ່ຈະຜົນນໍາຍາກັນເສີມດ້ວຍ

2.1.3 การเตรียมการก่อนการมุ่งหลังคา

1. ตรวจสอบจากของหลังคาว่าได้จากหรือไม่ ถ้าไม่ได้จากควรแก้ไขก่อน
2. ตรวจสอบระบบของแป๊วได้ระนาบเดียวกันหรือไม่ มีการตอกท้องซ้างหรือไม่
3. ตรวจสอบความลาดเอียงของหลังคาว่า เหมาะสมกับรูปOLONที่จะใช้หรือไม่
4. ตรวจสอบอย่างอื่นๆ สี และสิ่งอื่นๆ ของโครงหลังคาก่อนมุง เนื่องจากเมื่อมุงแล้ว

การเชื่อมท่าสี หรือการกระทำเพิ่มเติมใดๆ กายหลัง อาจก่อให้เกิดความเสียหายแก่แผ่นหลังคา

5. ติดตั้งรางรับน้ำฝนให้เรียบร้อยก่อนเริ่มงานมุ่งหลังค้าถ้ามีปีกควร abaft แต่งปูนฉาบให้เรียบร้อยก่อน ไม่ควรมีการแต่งปูนใดๆ กายหลังการมุงแผ่นหลังคานี้องจากอาจทำลายผิวเคลือบของแผ่นหลังคาน

2.1.4 วิธีการมุ่งหลังคา

1. การยกแผ่นขึ้นบนหลังคาก ควรยกด้วยความระมัดระวังในให้กระหายนหรือครุภักดี ดูๆ ขณะยกควรใช้เชือกมูกแผ่นให้มากจุด เพื่อป้องกันการหักงอหรือแผ่นเดcale การกองแผ่นควรจะวาง กองเป็นตับๆ ใกล้กับจันทันและควรใช้เชือกมูกไว้กับแป๊ว เพื่อที่จะยกขึ้นไปให้ถูกด้าน เพื่อป้องกันการที่จะต้องพลิกหรือกลับหัว-หัวข้างของแผ่นบนโครงหลังคาก

2. วัดความยาวของอาคารและหารด้วยความกว้างประสิติผลของแผ่น เพื่อหา จำนวนแผ่นที่จะมุง เศษความยาวของอาคารที่เหลือควรแบ่งเป็นสองส่วนเพื่อใช้เป็นระยะที่จะเว้นจาก ของอาคารก่อนที่จะมุงแผ่นแรก

การมุงแผ่นแรกต้องใช้ความละเอียดเป็นพิเศษ เพื่อให้แน่ใจว่าแผ่นขนาด และได้จาก กับโครงหลังคากที่สุดหลังจากยกลงให้ติดกับแผ่นแป๊วจึงควรขึงสายเอ็นที่ปลายแผ่น เพื่อใช้เป็นแนว อ้างอิงให้ปลายแผ่นของแผ่นต่อไปทุกแผ่น ขณะที่มุงควรตรวจสอบระยะที่มุงไปแล้ว กับระยะคงเหลือ เสนอเพื่อให้แน่ใจได้ว่าไม่ได้มุมเอียง

3. การยึดสกรูจะต้องเลือกสกรูที่ยาวพอที่จะยึดแผ่นจากยอดตอนถึงแป๊ว และจะต้อง เลือกสำหรับแป๊วเหล็ก หรือแป๊วโดยแป๊วเหล็กใช้สกรูที่มีเกลียวละลาย เสียด สำวนแป๊วใช้สกรูที่มีเกลียว หกเหลี่ยม จะต้องแจ้งผู้ขายดึงวัสดุที่ใช้ทำแป๊วกับผู้ขายเสมอ เพื่อผู้ขายจะได้จัดสกรูให้ถูกต้องกับการใช้งาน การยึดแผ่น มี 2 ลักษณะ

- 3.1 ยึดบนยอดOLON ใช้กับแผ่นมุงหลังคาก
- 3.2 ยึดบนท้องOLON ใช้กับการมุงผังหรือผ้าเดคน

3.3 ยึดบนรอยต่อแผ่นระหว่างแป๊ว เป็นการยึดรอยต่อของแผ่นให้แนบสนิท เพื่อป้องกันน้ำเข้า โดยยึดระหว่างกึ่งกลางของระยะแป๊ว ใช้กับหลังคากที่จะต้องมีการเดินเป็นครั้งคราวโดย ช่างหรือผู้ที่มีระยะเครื่องหางมากๆ

4. การเลือกสกรู ใช้สกรูที่มีเหวนยางทุกครั้ง

- บริเวณรอยซ้อนแผ่น 2 ชั้นและ 4 ชั้น ควรเพิ่มความยาวสกรูอีกอย่างน้อย 5 mm.

- สำหรับแป๊ปหรือโครงเครื่าที่ใช้เหล็กรูปพรรณหนากว่า 5 mm. ควรใช้สกรูที่ออกแบบพิเศษ โดยมีส่วนปลายสกรูที่เป็นดอกสว่านยาวไม่น้อยกว่าความหนาของสกรู

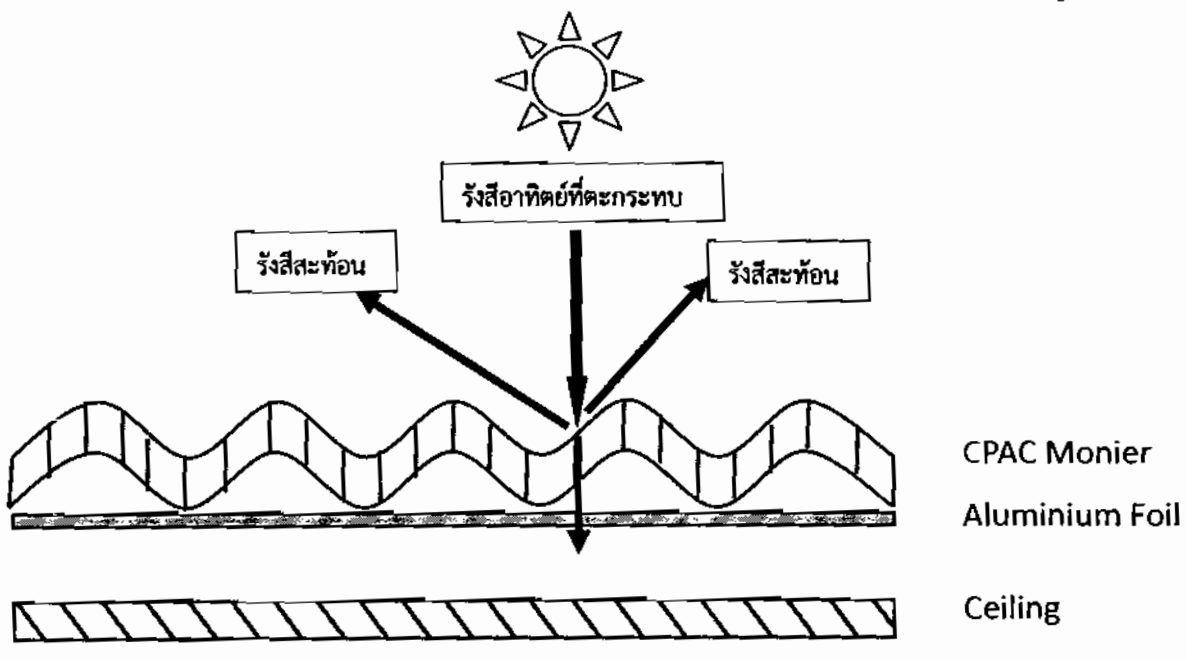
5. การซ้อนทับปลายแผ่น แม้ว่าเราจะสามารถติดแผ่นหลังคาด้วยความยาวได้ทุกได้ แต่ในบางกรณีอาจมีข้อจำกัดของความยาวซึ่งเกิดจากการชนส่งสถานที่ติดตั้ง หรือกรณีจำเป็นได้ ก็ตามที่สามารถตัดแผ่นให้สั้นลงและมุ่งซ้อนทับกัน แทนที่จะใช้แผ่นเดียวยาวตลอดโดยมีระยะซ้อนทับอย่างน้อย 15 cm. สำหรับหลังคา และ 10 cm. สำหรับผนังและบริเวณซ้อนทับนี้ควรจัดให้อยู่บนแปลงและควรยึดเชือกโคนตลอดความกว้างของแผ่นบริเวณรอยซ้อนทับนี้

6. รอยต่อเมื่อขยายตัว ในกรณีแผ่นหลังคามีความยาวมากๆ ควรจัดรอยต่อเพื่อการขยายตัว เนื่องจากความร้อนให้หุ่นยะ 25 - 30 m. เนื่องจากแผ่นหลังคามีเส้นหักเมื่อได้รับความร้อนจากแสงอาทิตย์ จะมีการขยายตัวตามความยาว เช่น แผ่นหลังคาน้ำที่มีความยาว 30 m. เมื่อได้รับความร้อนเพิ่มขึ้น 25 °C ก็อาจมีความยาวเพิ่มมากขึ้นถึง 8.5 cm. ทำให้เกิดแรงดึงและดันในแผ่นหลังคานตลอดเวลา

การจัดรอยต่อเมื่อขยายตัว ทำได้โดยยกแพทก์ตัวของแผ่นหลังคาน้ำที่อยู่ใกล้ยอดหลังคากว่าให้สูงกว่าแพทก์ที่ร่องรับแผ่นถัดไป ประมาณ 1.5 cm. และจัดให้มีระยะซ้อนทับไม่น้อยกว่า 30 cm. และมี Flashing

2.2 ความร้อนจากรังสีอาทิตย์ที่หลังคาน้ำได้รับ

ลักษณะของความร้อนที่จะได้รับจากรังสีอาทิตย์ซึ่งจะผ่านเข้าทางหลังคาน้ำจะแสดงได้ดังรูป



รูปที่ 2.2 : แสดงลักษณะของความร้อนที่ได้รับจากรังสีดวงอาทิตย์

จากรูป 2.2 ที่บ่งบอกด้านบนของหลังคาซึ่งจะได้รับความร้อนจากการรั่วสีความอาทิตย์โดยตรง ความร้อนเมื่อตกกระทบที่บริเวณหลังคาความร้อนส่วนหนึ่งจะถูกสะท้อนออกสู่ห้องพ้า สู่บรรยากาศ และความร้อนส่วนที่เหลือจะถูกหลังคาดูดกลืนเอาไว้ ทำให้ผิวหลังคามีอุณหภูมิสูง หลังคาจะแผ่รังสีความร้อนที่ดูดกลืนบางส่วนออกสู่อากาศที่มีอุณหภูมิต่ำกว่า และรังสีความร้อนอีกบางส่วนจะถูกส่งผ่านมายังแผ่นอลูมิเนียมฟอยล์และผ่านลงมายังแผ่นฝ้าเพดานซึ่งมีอุณหภูมิต่ำสุด ยิ่งอุณหภูมิที่ผิวหลังคามีได้รับสูง ความร้อนที่ส่งผ่านลงมายังห้องใต้หลังคาจะสูงตามไปด้วย

2.3 การถ่ายเทความร้อนเข้าสู่หลังคา

การถ่ายเทความร้อนเข้าหรือออกจากอาคารผ่านหลังคาสามารถทำได้ใน 3 รูปแบบ คือ การนำความร้อน (Conduction), การพาความร้อน (Convection), และการแผ่ความร้อน (Radiation) ตามลักษณะทางกายภาพของอาคารที่นำไปที่มีความสูงไม่มากพบว่า หลังคาเป็นส่วนที่ได้รับอิทธิพลจากการแผ่รังสีความร้อนตรงจากดวงอาทิตย์มากที่สุด การแผ่รังสีความร้อนจากดวงอาทิตย์ เมื่อเข้าสู่ชั้นบรรยากาศของโลก จะมีบางส่วนที่แพร่กระจาย เหลือเพียงบางส่วนที่ผ่านลงมายังพื้นโลก รังสีที่เกิดการสะท้อนกับเมฆ ฝุ่นละออง หรือไอน้ำในอากาศ เรียกว่า รังสีกระจาย (Diffuse Radiation) ซึ่งมีการกระจายที่ไม่สม่ำเสมอ มีความเข้มสูงในบริเวณรอบดวงอาทิตย์ และปริมาณของรังสีจะมีค่า 10-90% ของปริมาณรังสีจากดวงอาทิตย์ที่ผ่านเข้าสู่ตัวอาคาร อีกส่วนหนึ่งของรังสีเกิดการสะท้อนจากพื้นดิน หรืออาคารข้างเคียง เรียกว่า รังสีสะท้อน (Reflected Radiation) จะมีค่ามากหรือน้อยขึ้นอยู่กับค่า Reflectivity ของพื้นผิว สี ของวัสดุที่อยู่รอบๆ อาคารนั้น

รังสีความร้อนจากดวงอาทิตย์ที่ผ่านเข้ามายังพื้นโลก จะประกอบด้วยรังสี 2 ประเภท คือ

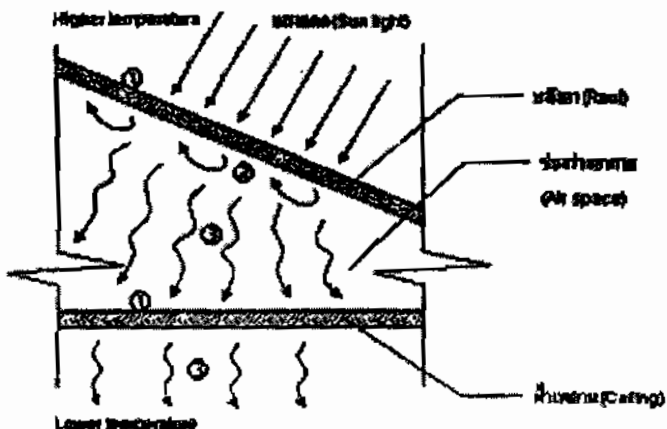
1. รังสีคลื่นสั้น (Short Wave Radiation) เป็นรังสีที่มาจากการสะท้อนอาทิตย์โดยตรง สามารถทะลุผ่านกระจกได้

2. รังสีคลื่นยาว (Long Wave Radiation) เกิดจากการรังสีคลื่นสั้นที่ตกกระทบวัดกุและจะเปลี่ยนเป็นรังสีคลื่นยาวในรูปของพสัจนาความร้อน ซึ่งจะมีความสามารถทะลุผ่านกระจกใส่ออกไปได้ จะสะท้อนได้ดีกับวัสดุผู้เรียบมันและเงา

เมื่อวัสดุหลังคามีได้รับรังสีความร้อนจากดวงอาทิตย์จะร้อนขึ้น เนื่องจากการแผ่รังสีคลื่นสั้นโดยเป็นรังสีคลื่นยาว ทำให้เกิดพลังงานความร้อนขึ้นที่ผิววัสดุพร้อมกับการดูดซับรังสีความร้อนของวัสดุ ทำให้ผิวหลังคาร้อนขึ้น นำไปสู่การถ่ายเทความร้อนเข้าสู่อาคาร ส่งผลต่ออุณหภูมิอากาศภายในอาคาร ทั้งนี้ขึ้นอยู่กับองค์ประกอบ 3 ประการ (Ashrae, 2001) คือ

1. อุณหภูมิอากาศภายนอก
2. รังสีดวงอาทิตย์ที่ตกกระทบผิววัสดุที่ถูกดูดซับไว้
3. การแลกเปลี่ยนรังสีความร้อนกับสภาพแวดล้อม

มวลสาร (thermal mass) เป็นตัวแปรสำคัญที่มีอิทธิพลต่อการถ่ายเทความร้อนเข้าสู่อาคาร กล่าวคือ มวลสารมีความสามารถในการกักเก็บความร้อน และการหน่วงเหนี่ยวการถ่ายความร้อนของวัสดุได้มากหรือน้อยต่างกัน วัสดุที่มีน้ำหนักเบาและมีมวลสารน้อยจะมีความสามารถในการกักเก็บปริมาณความร้อนได้น้อย แต่ความสามารถในการกักเก็บความร้อนเป็นไปในอัตราที่ช้า ในทางกลับกันวัสดุที่มีมวลสารมาก จะมีความสามารถในการกักเก็บปริมาณความร้อนได้มาก ยิ่งปริมาณความกักเก็บมีมากขึ้นจะเกิดการส่งผ่านอย่างต่อเนื่อง ความร้อนที่สะสมในมวลสารทยอยเคลื่อนตัวผ่านเข้าสู่อาคารในเวลาอัตโนมัติ อิทธิพลนี้เรียกว่า การหน่วงเหนี่ยวเวลา หรือ Time Lag Effect ถ้าหากในช่วงเวลาที่หลังคาบ้านกักเก็บความร้อนอยู่ อุณหภูมิอากาศภายนอกเย็นลงกว่าอุณหภูมิของหลังคาแล้ว ในช่วงเวลาหนึ่งจะเกิดการถ่ายเทความร้อนจากหลังคาสู่อากาศภายนอกด้วย จะเห็นว่าความร้อนที่สะสมอยู่ในหลังคา ส่วนหนึ่งจะเคลื่อนตัวเข้าสู่อาคารและอีกวันหนึ่งเคลื่อนตัวจากหลังคาสู่ภายนอก หากหลังคามีมวลสารมากและมี Time Lag มากโอกาสที่ความร้อนที่สะสมอยู่ในหลังคาจะถ่ายให้กับอาคารและภายนอกก็มีมาก



รูปที่ 2.3 : แสดงการถ่ายเทความร้อนในระบบหลังคา (1) = Conduction, (2) = Convection, (3) = Radiation (ประพันธ์พงศ์ จงปฏิยัตต์, 2542)

จากรูปที่ 2.11 จะเห็นได้ว่าบริเวณช่องว่างอากาศ (Air space) ระหว่างหลังคา กับฝ้าเพดาน ความร้อนที่เกิดขึ้นจากอิทธิพลของแสงแดดจะถ่ายเท (Transfer) ลงมาสู่พื้นที่ใช้สอยได้หลังคาหรือฝ้าเพดานที่มีอุณหภูมิต่ำกว่าเสมอ รูปแบบการถ่ายเทความร้อนที่เกิดขึ้นมากที่สุด คือการแผรังสีความร้อน (3) ซึ่งเป็นรูปแบบหนึ่งของรังสีคลื่นแม่เหล็กไฟฟ้า (Electromagnetic wave) เรียกวันโดยทั่วไปว่ารังสีอินฟราเรด (Infrared) สามารถถ่ายเทความร้อนได้ในทุกทิศทางโดยไม่ต้องอาศัยตัวกลาง ให้กับทุกสรรพสิ่งที่มีอุณหภูมิต่ำกว่า สำหรับการนำความร้อน (1) เกิดขึ้นเสมอในเนื้อวัสดุใดๆ ที่เป็นขึ้นตี่ยากันหรือต่ำชนิดกัน แต่ติดหรือสัมผัลกัน จากพื้นผิวที่มีอุณหภูมิสูงกว่าไปสู่พื้นผิวที่มีอุณหภูมิต่ำกว่า ส่วนการพาความร้อน (2) ในระบบหลังคามีน้อยมาก เพราะอากาศที่ร้อนจะมีน้ำหนักเบาแลวลอยตัวสูงขึ้น หากหลังคาได้รับการออกแบบให้สามารถระบายอากาศร้อนออกทิ้งสู่ภายนอกได้ ไม่ว่าจะเป็นโดยวิธีธรรมชาติหรือใช้เครื่องกลก็ตาม อากาศภายนอกที่มีอุณหภูมิต่ำกว่าจะเข้ามาแทนที่ โอกาสของการพาความร้อนสู่ฝ้าเพดานจึงแทบไม่มีเลย

2.3.1 การถ่ายเทความร้อน

ปริมาณความร้อนที่ถ่ายเทเข้าสู่ห้องหลังคามารถหาได้จากสมการ

$$Q = UA\Delta T \quad (2.1)$$

เมื่อ	Q	คือ ปริมาณความร้อน, W
	U	ค่าล้มประสิทธิ์การถ่ายเทความร้อนรวม, $W.m^{-1}.K^{-1}$
	A	คือ พื้นที่แลกเปลี่ยนความร้อน, m^2
	ΔT	คือ ผลต่างของอุณหภูมิแลกเปลี่ยนความร้อน, K

สัมประสิทธิ์การถ่ายเทความร้อนรวม สามารถหาได้จากสมการ

$$U_i = \frac{1}{R_1 + R_2 + R_3 + R_4} \quad (2.2)$$

เมื่อ	U	ค่าสัมประสิทธิ์การถ่ายเทความร้อนรวม, $W.m^{-1}.K^{-1}$
	R_1	ความต้านทานตัวที่หนึ่งระหว่างกระเบื้องซีแพคโนเนียกับบนแผ่นอลูมิเนียมฟอยล์ (Ω)
	R_2	ความต้านทานตัวที่สองระหว่างบนแผ่นอลูมิเนียมฟอยล์กับใต้แผ่นอลูมิเนียมฟอยล์ (Ω)
	R_3	ความต้านทานตัวที่สามระหว่างใต้แผ่นอลูมิเนียมฟอยล์กับฝ้าเพดาน (Ω)
	R_4	ความต้านทานตัวที่สี่ระหว่างฝ้าเพดานกับสภาพแวดล้อม (Ω)

ความต้านทานตัวที่หนึ่ง (R_1) ระหว่างกระเบื้องซีแพคโนเนียกับบนแผ่นอลูมิเนียมฟอยล์ (Ω) สามารถหาได้จากสมการ

$$R_1 = \frac{1}{h_{c,CP-F} + h_{r,CP-F}} \quad (2.3)$$

เมื่อ	$h_{c,CP-F}$	คือ สัมประสิทธิ์การพาความร้อนจากกระเบื้องซีแพคโนเนียไปยังบนแผ่น อลูมิเนียมฟอยล์
	$h_{r,CP-F}$	คือ สัมประสิทธิ์การแผรังสีความร้อนจากกระเบื้องซีแพคโนเนียไปยังบนแผ่นอลูมิเนียมฟอยล์

ความต้านทานตัวที่สอง (R_2) ระหว่างบนแผ่นอุ่มเนี่ยมฟอยล์กับใต้แผ่นอุ่มเนี่ยมฟอยล์ (Ω) สามารถหาได้จากสมการ

$$R_2 = \frac{L}{k} \quad (2.4)$$

เมื่อ L คือ ความหนาของแผ่นอุ่มเนี่ยมฟอยล์ มีหน่วยเป็นเมตร (m)

k คือ ค่าการนำความร้อนของแผ่นอุ่มเนี่ยมฟอยล์ มีหน่วยเป็น $W.m^{-1}.C^{-1}$

ความต้านทานตัวที่สาม (R_3) ระหว่างได้แผ่นอุ่มเนี่ยมฟอยล์กับฝ้าเดคน (Ω) สามารถหาได้จากสมการ

$$R_3 = \frac{1}{h_{c,F-c} + h_{r,F-c}} \quad (2.5)$$

เมื่อ $h_{c,F-c}$ คือ สัมประสิทธิ์การพาความร้อนใต้แผ่นอุ่มเนี่ยมฟอยล์กับฝ้าเดคน

$h_{r,F-c}$ คือ สัมประสิทธิ์การแผ่รังสีความร้อนใต้แผ่นอุ่มเนี่ยมฟอยล์กับฝ้าเดคน

ความต้านทานตัวที่สี่ (R_4) ระหว่างฝ้าเดคนกับสภาพแวดล้อม (Ω) สามารถหาได้จากสมการ

$$R_4 = \frac{1}{h_{c,c-a} + h_{r,c-a}} \quad (2.6)$$

เมื่อ $h_{c,c-a}$ คือ สัมประสิทธิ์การพาความร้อนจากฝ้าเดคนไปยังสภาพแวดล้อม

$h_{r,c-a}$ คือ สัมประสิทธิ์การแผ่รังสีความร้อนจากฝ้าเดคนไปยังสภาพแวดล้อม

สัมประสิทธิ์การแผ่รังสีระหว่างกระเบื้องซีแพคโนเนี่ยกับบนแผ่นอุ่มเนี่ยมฟอยล์

$$h_{r,CP-F} = \frac{\sigma (T_{CP} - T_F) (T_{CP}^2 + T_F^2)}{\frac{1}{\epsilon_{CP}} + \frac{1}{\epsilon_F} - 1} \quad (2.7)$$

สัมประสิทธิ์การแผ่รังสีระหว่างใต้แผ่นอุ่มเนี่ยมฟอยล์กับฝ้าเดคน

$$h_{r,BF-c} = \frac{\sigma (T_{BF} - T_c) (T_{BF}^2 + T_c^2)}{\frac{1}{\epsilon_{BF}} + \frac{1}{\epsilon_c} - 1} \quad (2.8)$$



สัมประสิทธิ์การแผ่รังสีระหว่างผ้าเดานกับอากาศ

$$h_{r,c-a} = \epsilon_c \sigma (T_c^2 + T_a^2) (T_c - T_a) \quad (2.9)$$

เมื่อ $h_{r,Cp-F}$ คือ สัมประสิทธิ์การแผ่รังสีความร้อนจากการเบื้องซีแพคโนเนี่ยไปยังบนแผ่นอุ่นนิ่นนย

พอยล์

- σ ค่าคงที่สเปคัน-โบสเทิร์มันน์ มีค่าเท่ากับ $5.6697 \times 10^{-8} \text{ W.m}^{-2}.k^{-4}$
- T_{cp} คือ อุณหภูมิที่คำนวณงrageเบื้องซีแพคโนเนี่ย มีหน่วยเป็น (K)
- T_F คือ อุณหภูมิแผ่นบนอุ่นนิ่นนยมพอยล์ มีหน่วยเป็น เคลวิน (K)
- T_{BF} คือ อุณหภูมิแผ่นใต้อุ่นนิ่นนยมพอยล์ มีหน่วยเป็น เคลวิน (K)
- T_C คือ อุณหภูมิผ้าเดาน มีหน่วยเป็น เคลวิน (K)
- T_a คือ อุณหภูมิสภาพอากาศ มีหน่วยเป็น เคลวิน (K)
- ϵ_{cp} คือ ค่าการแผ่รังสีความร้อนของrageเบื้องซีแพคโนเนี่ย
- ϵ_F คือ ค่าการแผ่รังสีความร้อนบนแผ่นอุ่นนิ่นนยมพอยล์
- ϵ_{BF} คือ ค่าการแผ่รังสีความร้อนใต้แผ่นอุ่นนิ่นนยมพอยล์
- ϵ_c คือ ค่าการแผ่รังสีความร้อนผ้าเดาน

การพารามิเตอร์ระหว่างแผ่นบนส่องแผ่นบนกัน คือ อัตราการถ่ายโอนความร้อนระหว่างแผ่นบนที่วางทำมุกกับแนวราบ คือ สิ่งสำคัญที่บอกถึงสมรรถนะของตัวเก็บรังสีอาทิตย์แบบแผ่นบนข้อมูลของการพารามิเตอร์ระหว่างแผ่นบนและบนกัน ที่ใช้ทั่วไปจะเกี่ยวข้องกับตัวแปรรีมิติ 2 หรือ 3 ได้แก่

ตัวเลขนัสเซล์ (Nusselt Number,Nu) สามารถหาได้จากสมการ

$$h = Nu \frac{k}{L} \quad (2.10)$$

ตัวเลขเรลล์เลีย (Rayleigh Number,Ra) สามารถหาได้จากสมการ

$$Ra = \frac{g\beta' \Delta T L^3}{\nu \alpha} \quad (2.11)$$

ตัวเลข พรันท์ล (prandtl Number,Pr) สามารถหาได้จากสมการ

$$Pr = \frac{\nu}{\alpha} \quad (2.12)$$

เมื่อ	L	คือ ระยะห่างระหว่างแผ่น มีหน่วยเป็นเมตร (m)
	k	คือ ค่าการนำความร้อนมีหน่วยเป็น $W.m^{-1}.C^{-1}$
	η	คือ ความเร่งเนื่องจากแรงโน้มถ่วงของโลก มีหน่วยเป็น $m.s^{-2}$
	β'	คือ สัมประสิทธิ์การขยายตัวเชิงปริมาตร (สำหรับกําชจุดคงที่ $\beta' = \frac{1}{T}$)
	ΔT	คือ ผลต่างระหว่างอุณหภูมิ
	ν	ค่าหนึ่งเดือน kinematic Viscosity) มีหน่วยเป็น $m^2.s^{-1}$
	α	ค่าสภาพการแย่งความร้อน มีหน่วยเป็น $m^2.s^{-1}$

ในการทดลองใช้อากาศเป็นสารทำงาน Hollands และคณะ (1976) ได้เสนอความสัมพันธ์ระหว่างตัวเลขน้ำเสียงที่กับตัวเลขเรียลเลอร์ สำหรับทำมูอิงตั้งแต่ 0 ถึง 70 องศาเซลเซียส ดังนี้

$$Nu = 1 + 1.44 \left[1 - \frac{1708(\sin 1.8\beta)^{1.6}}{Ra \cos \beta} \right] \left[1 - \frac{1708}{Ra \cos \beta} \right]^+ + \left[\left(\frac{Ra \cos \beta}{5830} \right)^{1/3} - 1 \right]^+ \quad (2.13)$$

เครื่องหมาย (+) หมายความว่าใช้เฉพาะค่าบวก และจะใช้ค่าศูนย์หากเทอมในวงเล็บได้ค่าติดลบ

2.4 งานวิจัยที่เกี่ยวข้อง

- 2501 วิกรม จำงจิตต์ ศึกษาประสิทธิผลการลดการถ่ายเทความร้อนจากหลังคาด้วยวิธีการระบายอากาศ ซึ่งได้ หลังคาของอาคารที่ตั้งอยู่ในสภาพภูมิอากาศร้อนชื้น พบว่าเมื่อมีการเพิ่มการระบายอากาศซึ่งได้หลังคา จะเพิ่มประสิทธิผลการถ่ายเทความร้อนจากหลังคาเพียงเล็กน้อย ดังนั้นการออกแบบปรับปรุงหลังคาเพื่อลดการถ่ายเทความร้อนจะใช้วิธีการอื่นๆ เช่น การใช้ฉนวนไนโตรกัณฑ์กับความร้อน ซึ่งเป็นวิธีที่มีประสิทธิผลสูงกว่าจะใช้เงินลงทุนไม่มากนัก และพบว่า ในช่วงเวลากลางคืนการใช้ฉนวนในแก้วกับความร้อนในหลังคาจะทำให้อุณหภูมิอากาศเฉลี่ยในห้องสูงกว่าห้องที่มีและไม่มีการระบายอากาศได้หลังคา และสูงกว่าห้องที่ใช้ระบบป้องกันรังสีความร้อนในหลังคา
- 2536 จญาดา บุญยเกียรติ ศึกษาการหาแนวทางในการลดการถ่ายเทความร้อนเข้าสู่อาคารที่ผ่านทางหลังคา งานวิจัยเน้นไปที่การศึกษาปัจจัยที่จะมีผลต่อการถ่ายเทความร้อนเข้าสู่อาคาร โดยการทำทุนจำลองขนาด $1.20 \times 1.20 \times 1.20$ เมตร ด้านบนเป็นวัสดุบุนงหลังคาที่ต้องการทดสอบ และทำการวัดอุณหภูมิจุดต่างๆ ภายในกล่องทดลองพบว่า หลังคามุงจากมีค่าความเป็นฉนวนสูงสุด เมื่อเปรียบเทียบกับวัสดุชนิดอื่นๆ โดยในช่วงกลางวันผิวหลังคาก็ดูดซึมความร้อนไว้ไม่มากทำ

- ให้อุณหภูมิเฉลี่ยภายในกล่องทดลองค่อนข้างต่ำ ส่วนในช่วงกลางคืนด้วยความเป็นธรรมของจากผู้หลังคาจึงไม่ค่อยจะสูญเสียความร้อนให้กับท้องฟ้า ส่งผลให้อุณหภูมิผู้หลังคา และอุณหภูมิภายในกล่องทดลองไม่แตกต่างจากในตอนกลางวันมากนัก หลังคาแผ่นโลหะมีคุณสมบัตินการเป็นตัวนำที่ดี และสะท้อนรังสีแสงอาทิตย์ได้มาก ดูดซึมน้อย ทำให้อุณหภูมิเฉลี่ยภายในกล่องทดลองไม่สูงไปตามอุณหภูมิผู้หลังคา
- 2540 จุไรพร ดุมพสุวรรณ ศึกษาพฤติกรรมการถ่ายเทความร้อนผ่านวัสดุมุงหลังคาบ้านพักอาศัยในเขตกรุงเทพฯ โดยศึกษาและวิเคราะห์คุณสมบัติของวัสดุมุงหลังคา มุ่งเน้นของหลังคา การใช้ชนวนกับความร้อนและการระบายอากาศบริเวณชายคา พบร่วมกับวัสดุมุงหลังคาที่มีคุณสมบัติในการลดการถ่ายเทความร้อนได้ดีที่สุดจากการทดลองนี้ คือ หญ้าคา มุ่งเน้นของหลังคาที่มีผลต่อการถ่ายเทความร้อนพบร่วมกับชั้นเวลาที่อุณหภูมิสูงสุดของวัน มุ่งเน้น 60 องศาจะมีอุณหภูมิได้ฝ้าเพดานต่ำที่สุด การเพิ่มประสิทธิภาพของหลังคา พบร่วมกับแผนผังการติดตั้งชนวนที่ตีคือตำแหน่งแนวระเหนอฝ้าเพดานที่มีการระบายอากาศเหนือบริเวณชายคา ซึ่งเป็นการแสดงว่าการลดการถ่ายเทความร้อนโดยการใช้ชนวนความร้อนในตำแหน่งที่ถูกต้องและการระบายอากาศบริเวณชายคาจะช่วยลดความร้อนในชั้นเวลาที่สูงที่สุดของวันได้
- 2540 สมพงษ์ ใจมา ศึกษาการวิเคราะห์สมรรถนะของหลังคารับรังสีอาทิตย์ โดยมีการออกแบบให้ตัวบ้านมีอากาศถ่ายเทได้สะดวกซึ่งจะอาศัยหลักการพากความร้อนโดยธรรมชาติจึงได้สร้างอุปกรณ์ให้กับตัวบ้านซึ่งเรียกว่า หลังคารับรังสีอาทิตย์จะเรียกว่า RSC ซึ่ง RSC สามารถที่จะลดปริมาณการดูดกลืนรังสีตกกระทบ และยังช่วยก่อให้เกิดกลไกการให้ลมถ่ายเทระหว่างอากาศโดยธรรมชาติได้อีกด้วย จากผลการทดลองที่ได้ เมื่อเปรียบเทียบกับผลของการ simulation จะได้ผลใกล้เคียงกันจากการ simulation ซึ่งสามารถทำได้สะดวก จะให้เงื่อนไขในการสร้าง RSC ที่เหมาะสมคือ มุ่งของหลังคาอยู่ ระหว่าง 20 องศา ถึง 45 องศา โดยใช้ความยาวอยู่ในช่วง 100-130 cm และช่องอากาศระหว่างชั้นเพคโนเนี่ย และแผ่นยิปซั่ม ควรกว้าง 10-14 cm
- 2541 ปานพิพิธ ทักษ์เสดีย์ ศึกษาเบรริยบเทียบหลักษณะรูปทรงและวัสดุหลังคาเพื่อส่งเสริมการอนุรักษ์พัฒนา โดยมุ่งเน้นที่หลังคาบ้านของกลุ่มบ้านพักอาศัยซึ่งถือว่าเป็นส่วนประกอบหนึ่งของอาคารที่ใช้พื้นที่ในการสักดิ้นรังสีความร้อนมากที่สุด พบร่วมกับวัสดุมุงหลังคาที่ควรเลือกใช้ที่มุ่งลดเอียง 30 องศา และ 20 องศา คือ กระเบื้องซีแพคโนเนี่ย กระเบื้องลอนคู่ กระเบื้องเซรามิก เบรริยบเทียบจำนวนกับความร้อน พบร่วมกับจำนวนกับความร้อนครัวใช้แผ่นสะท้อนความร้อนและฉนวนไยแก้ว เบรริยบเทียบวัสดุมุงหลังคาร่วมกับฉนวนกับความร้อน พบร่วมกับกระเบื้องซีแพคโนเนี่ยร่วมกับฉนวนไยแก้ว และกระเบื้องลอนคู่ร่วมกับฉนวนไยแก้ว
- 2541 อุทัย ประพงษ์ชนะ ศึกษาการวิเคราะห์การถ่ายเทความร้อนผ่านระบบหลังอาคาร ใน การศึกษาได้ทำแบบจำลองสำหรับหลังคางlass และหลังคาระเบียนแล้วคำนวณหาค่าปริมาณความร้อนที่ถ่ายเทผ่านระบบหลังคาก้าวโดยโปรแกรมคอมพิวเตอร์ที่เขียนขึ้น สำหรับการคำนวณด้วยโปรแกรมคอมพิวเตอร์โดยวิธีผลต่างสืบเนื่อง (finite difference method) และใช้หลักการของนิวตันราฟสันในการแก้ปัญหาระบบสมการไม่เชิงเส้นเพื่อหาอุณหภูมิที่จุดต่างๆ ของหลังคากและคำนวณหาค่าปริมาณความร้อนที่ถ่ายเทผ่านระบบหลังคาก จากการศึกษาพบว่า มาตรการลดความร้อนที่ได้ผลดีที่สุดคือ

การติดตั้งฝ้าเพดานแล้วปูด้วยฉนวนกันความร้อนเหนือฝ้า รองลงมาคือการติดตั้งฝ้าเพดานแล้วระบายอากาศเหนือฝ้าเพดานและการฉาบสารสะท้อนรังสีความร้อนที่ผิวด้านนอกของหลังคา ตามลำดับ

- 2541 ศุภกิจ อิมสรวต ศึกษาการใช้ส่วนหลังคาเพื่อลดการถ่ายเทความร้อนพบว่าการใช้ดินปอกคลุมหลังคาสามารถลดอุณหภูมิผิวด้านล่างหลังคาอาคารลงได้ เนื่องจากอิทธิพลความเย็นจากดินและการเปลี่ยนความร้อนระหว่างหลังคาอาคารกับดิน ดินที่มีความชื้นมากมีผลทำให้อุณหภูมิผิวด้านล่างหลังคาอาคารลดต่ำลง การมีสิ่งปอกคลุมผิวดินช่วยป้องกันความร้อนและรักษาความชุ่มชื้นให้กับดิน ทำให้มีอุณหภูมิผิวด้านล่างหลังคาอาคารลดต่ำลง การใช้ดินไม่ใหญ่กรองแสงและป้องกันความร้อนจากดวงอาทิตย์สามารถลดความร้อนให้แก่ผิวดินทำให้ผิวดินมีความเย็นและมีการเหนี่ยวนำความเย็นลงสู่ดิน ส่งผลต่อการแลกเปลี่ยนความร้อนระหว่างหลังคาอาคารกับดินทำให้อุณหภูมิผิวด้านล่างหลังคาอาคารลดต่ำลงการประยุกต์ใช้ส่วนบนหลังคาเพื่อลดการถ่ายเทความร้อน ควรทำให้ดินมีความชุ่มชื้นตลอดเวลาและมีสิ่งปอกคลุมผิวดินเพื่อรักษาความชื้นภายในดิน ควรใช้ดินไม้ใหญ่เพื่อปรับสภาพแวดล้อมและป้องกันความร้อนจากดวงอาทิตย์ ซึ่งจะช่วยลดการถ่ายเทความร้อนได้
- 2544 พัชรี คำห้องพวน และคณะ ศึกษาผลของการเกิดพิล์มอากาศต่อการถ่ายเทความร้อนเข้าสู่ห้องทางหลังคาโดยพิจารณาการเกิดพิล์มอากาศที่บริเวณผิวดวงฉนวน และศึกษาโดยใช้แบบจำลองเชิงตัวเลขหนึ่งมิติ พบว่าผลของการเกิดพิล์มอากาศสามารถลดความร้อนได้จริง จากการศึกษาเพื่อเปรียบเทียบการถ่ายเทความร้อนที่ถ่ายเทเข้าสู่ห้องทางหลังคาระหว่างกรณีที่คิดการเกิดพิล์มอากาศและกรณีไม่เกิดพิล์มอากาศ กรณีที่เกิดพิล์มอากาศสามารถลดการถ่ายเทความร้อนที่ถ่ายเทเข้าสู่ห้องทางหลังคาได้ประมาณ 21.25 เปอร์เซ็นต์ของกรณีที่ไม่เกิดพิล์มอากาศตรงกับทฤษฎีที่กล่าวว่าพิล์มอากาศเป็นฉนวนป้องกันความร้อน
- 2548 T'Soubdhan ศึกษาเรื่องการประเมินผลกระทบดlongของฉนวนความร้อนที่ถูกติดตั้งกับหลังคาภายใต้อากาศร้อน พบว่าฉนวนกันความร้อนที่ถูกติดตั้งกับหลังคาสามารถลดปริมาณความร้อนที่ผ่านหลังคาเข้าสู่ตัวบ้านได้ และการออกแบบหลังคาให้มีช่องระบายอากาศสามารถลดปริมาณความร้อนที่ผ่านหลังคาเข้าสู่ตัวบ้านได้เช่นกัน แต่งานวิจัยนี้สรุปได้ว่า การติดตั้งฉนวนกันความร้อนสามารถลดปริมาณความร้อนที่เข้าสู่หลังคาได้ดีกว่าการออกแบบหลังคาให้มีช่องระบายอากาศและยังสามารถประยุกต์ค่าใช้จ่ายในการติดตั้งได้
- 2548 S.Maneewan และคณะ ศึกษาเรื่องการลดความร้อนซึ่งว่างได้หลังคาโดยวิธีเทอร์โมอิเล็กทริก โดยใช้พัดลมในการดึงเอาความร้อนออกจากช่องว่างได้หลังคา พบว่าการใช้พัดลมในการดึงเอาความร้อนออกจากช่องว่างได้หลังคา ทำให้ลดปริมาณความร้อนที่เข้าสู่ฝ้าเพดานได้โดยวัดอุณหภูมิที่ห้องใต้หลังคาได้ 35°C ทำให้เกิดประสิทธิภาพการถ่ายเทความร้อนสูง ข้อเสีย ต้องเสียค่าใช้จ่ายในการติดตั้งสูงมาก

- 2550 ถาวล นิลชา ศึกษาการลดภาระความร้อนในอาคารหลังจากหมดค่ารังสีความร้อนของดวงอาทิตย์ โดยใช้ห่อแลกเปลี่ยนความร้อนได้ดินพบร่วมกับอัตราความร้อนที่เข้าสู่อาคารที่ไม่มีการปรับอากาศจะหมดในเวลา 21.50n. ในส่วนของการปรับอากาศโดยใช้ระบบห่อแลกเปลี่ยนความร้อนได้ดินมีการทำความเย็นในช่วงเวลา 18.05-21.20 n. ทำให้อัตราความร้อนเข้าสู่ภายในอาคารหมดในเวลา 21.05n. และอุณหภูมิอากาศภายในอาคารมีค่าต่ำกว่าไม่มีการปรับอากาศเฉลี่ย 0.77°C

บทที่ 3

ขั้นตอนการดำเนินงาน

วิธีการทดสอบและวิเคราะห์ผลการทดสอบ ดังนี้

- 3.1 ตัวแปรในการทดสอบ
- 3.2 ชุดทดสอบ
- 3.2 อุปกรณ์และเครื่องมือวัด
- 3.3 ขั้นตอนการทดลอง
- 3.4 บันทึกผลการทดลอง

3.1 ตัวแปรในการทดสอบ

- 3.1.1 ขนาดของตัวบ้าน ความกว้าง 120 cm. ความยาว 120 cm.
- 3.1.2 ขนาดของหลังคา ความลาดชันของหลังคาทำมุม 30 องศา ความสูงของหลังคา 82 cm.
ความลาดเอียงของหลังคา 200 cm.
- 3.1.3 กระเบื้องซีแพคโนเนีย สีน้ำตาล
- 3.1.4 แผ่นอลูมิเนียม คือ พอยล์ซันเด้นบ้าคุและแผ่นอลูมิเนียมพอยล์ซันเด้นบ้าเดียว
- 3.1.5 ฝ้าเพดาน คือ ฝ้าเพดานชนิดแผ่นเรียบและฝ้าเพดานชนิดสะท้อนความร้อน

3.2 ชุดทดสอบ

ออกแบบและสร้างชุดทดสอบการถ่ายเทความร้อนของระบบจำนวนความร้อนที่ถูกติดตั้งให้หลังคาและบนฝ้าเพดาน โดยออกแบบให้เป็นแบบจำลองที่มีลักษณะคล้ายบ้านและใช้วัสดุในการก่อสร้างบ้านจริง ซึ่งมีลักษณะการมุงหลังคาเป็นแบบเพิงหมาแหงน และทำการมุงหลังคาด้วยวัสดุกระเบื้องซีแพคโนเนีย (ภาคผนวก ค) ติดตั้งแผ่นอลูมิเนียมพอยล์ได้แผ่นมุงหลังคา (ภาคผนวก ค) และติดตั้งแผ่นฝ้าเพดาน แสดงดังภาคผนวก ค

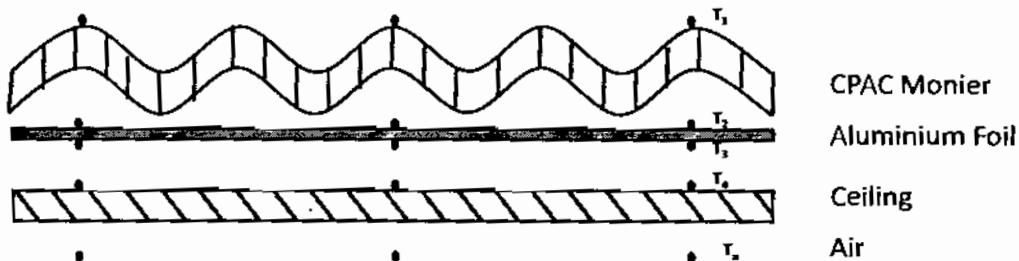
3.3 อุปกรณ์และเครื่องมือวัด

- 3.3.1 เครื่องบันทึกข้อมูล (Data Logger) ยี่ห้อ YOKOGAWA รุ่น DX200 ขนาด 20 ช่องสัญญาณ มีช่วงการวัดอุณหภูมิ -200 °C ถึง 1100 °C มีความแม่นยำ ± 0.1 °C (ดังภาคผนวก ค)
- 3.3.2 สายเทอร์โมค็อปเปิล (Thermocouple) Type K ใช้ร่วมกับเครื่องบันทึกข้อมูล(ดังภาคผนวก ค)
- 3.3.3 Amplified Pyranometer SP 212 & 215 (ดังภาคผนวก ค)

3.4 ขั้นตอนการทดลอง

3.4.1 ติดตั้งแผ่นฟอยล์อะลูมิเนียม (Aluminium foil) มีความหนา 0.001 m. และฝ้าเพดานขนาดกว้าง x ยาว (60x60 cm) จำนวน 4 แผ่น มีความหนา 0.008 m. ไว้ใต้แผ่นมุ่งหลังคา

3.4.2 ติดตั้งสายเทอร์โมคัปเปิล Type K (ค่าความคลาดเคลื่อน ± 0.5) เข้ากับชุดสอบสวนที่ตำแหน่งต่างๆ แสดงดังรูป 3.1



- *หมายเหตุ ตำแหน่งต่างๆ ที่ใช้ในการวัดอุณหภูมิ

รูปที่ 3.1 แสดงการตำแหน่งต่างๆ ที่ใช้ในการวัดอุณหภูมิ

3.4.3 ติดตั้งสายเทอร์โมคัปเปิล Type K (ค่าความคลาดเคลื่อน ± 0.5) ที่ติดตั้งจากชุดทดลอง จากรูป 3.1 เข้ากับเครื่องบันทึกข้อมูล (Data Logger)

3.4.4 เริ่มทำการวัดอุณหภูมิ ณ จุดต่างๆ ประกอบด้วย บนหลังคา (T_1) บนแผ่นฟอยล์ (T_2) ใต้แผ่นฟอยล์ (T_3) และบนฝ้าเพดาน (T_4) และอุณหภูมิสภาพอากาศ (T_a) แสดงดังรูป 3.1

3.4.5 นำค่าอุณหภูมิที่วัดได้ ณ จุดต่างๆ มาคำนวณหาค่าการถ่ายเทความร้อน (Q)

3.4.6 ทำการเปลี่ยนแปลงสภาวะของการทดลอง แสดงดังตารางที่ 3.1

ตารางที่ 3.1 แสดงลักษณะการเปลี่ยนแปลงสภาวะการทดลองของห้องใต้หลังคา

สภาวะ ทดลอง	ลักษณะการเปลี่ยนแปลงสภาวะการทดลองของห้องใต้หลังคา				
	อลูมิเนียมฟอยล์ ชนิดหน้าคู่	อลูมิเนียมฟอยล์ ชนิดหน้าเดียว	ฝ้าเพดานชนิด แผ่นเรียบ	ฝ้าเพดานชนิด สะท้อนความร้อน	อนุวันไยแก้ว
DN	✓		✓		
DNI	✓		✓		✓
DRI	✓			✓	✓
DR	✓			✓	
SR		✓		✓	
SRI		✓		✓	✓
SN		✓	✓		
SNI		✓	✓		✓
NI			✓		✓
RI				✓	✓

*หมายเหตุ รายละเอียดแสดงในสารบัญสัญลักษณ์

- ◆ วิเคราะห์ผลการทดลอง
- ◆ จัดทำรูปเล่มรายงานฉบับสมบูรณ์

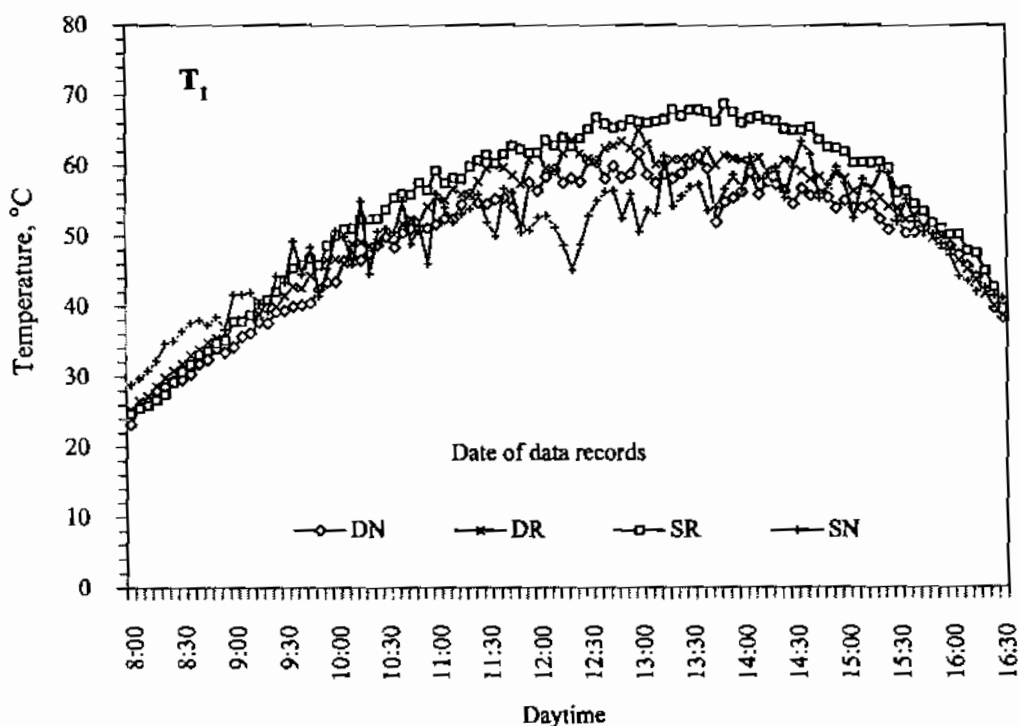
3.4 บันทึกผลการทดลอง

- ◆ ตั้งเครื่องทดลอง ณ ตึก SC2 คณะวิทยาศาสตร์ มหาวิทยาลัยมหาสารคาม
- ◆ บันทึกผลการทดลองในช่วงเวลา 08.00 – 16.00 นาฬิกา
- ◆ บันทึกผลการทดลองทุกๆ เวลา 5 นาที โดยเก็บข้อมูลอุณหภูมิตำแหน่งบนหลังคา (T_1) อุณหภูมิตำแหน่งบนแผ่นอุ่มเนียนพอยล์ (T_2) อุณหภูมิตำแหน่งใต้แผ่นอุ่มเนียนพอยล์ (T_3) และอุณหภูมิตำแหน่งบนฝ้าเพดาน (T_4) และอุณหภูมิสภาพอากาศ (T_a)

บทที่ 4

ผลการทดลองและอภิปรายผล

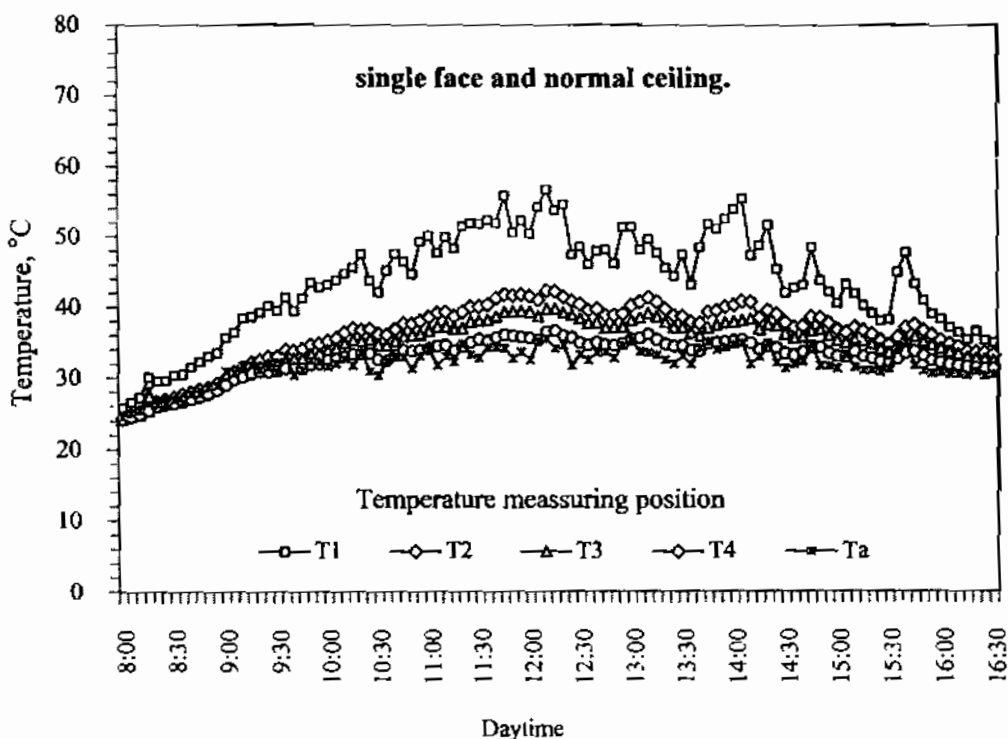
งานวิจัยนี้มีวัตถุประสงค์เพื่อศึกษาค่าการถ่ายเทความร้อนของระบบจันวนความร้อนที่ถูกติดตั้งให้หลังคาและบนฝ้าเพดาน โดยสร้างบ้านจากวัสดุที่ใช้ในการก่อสร้างจริง เพียงจำลองขนาดของตัวบ้านให้มีขนาดความกว้างและความยาวเท่ากัน คือ 1.20 m. จากนั้นทำการเปลี่ยนแปลงสภาวะทดลองของห้องให้หลังคา เพื่อศึกษาพฤติกรรมการถ่ายเทความร้อน ในรูปของอุณหภูมิ ณ ตำแหน่งต่างๆ ประกอบด้วย ตำแหน่งบนหลังคา (T_1) ตำแหน่งบนแผ่นอะลูมิเนียมฟอยล์ (T_2) ตำแหน่งใต้แผ่นอะลูมิเนียมฟอยล์ (T_3) และตำแหน่งบนฝ้าเพดาน (T_4) ผลการทดลองสามารถแบ่งออกเป็น 2 ส่วน คือ ผลของอุณหภูมิที่มีต่อการถ่ายเทความร้อนและค่าการถ่ายเทความร้อนที่มีผลต่อการติดตั้งระบบจันวนความร้อนให้เกิดประสิทธิภาพสูงสุด ผลการทดลองสามารถอภิปรายได้ดังต่อไปนี้



รูปที่ 4.1: แสดงความสัมพันธ์ระหว่างอุณหภูมิบนหลังคา (T_1) ในช่วงเวลากลางวันที่มีเงื่อนไขการทดลองทั้งกัน

4.1 อุณหภูมิตำแหน่งบนหลังคา

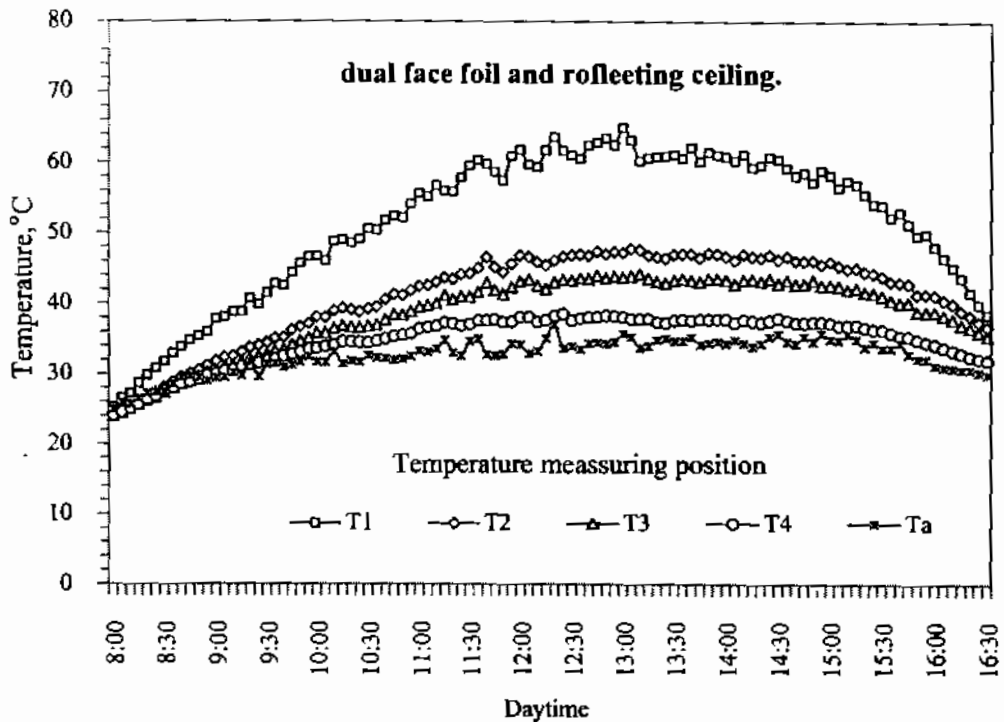
รูปที่ 4.1 แสดงการเปลี่ยนแปลงอุณหภูมิบนหลังคาในเวลากลางวัน เมื่อบันทึกข้อมูลในวันต่างๆ ผลการทดลองพบว่า อุณหภูมิค่าที่สุด ณ เวลา 8.00 น. จากนั้นเพิ่มขึ้นจนกระหึ่งเวลาประมาณ 12.30 น. อุณหภูมิเข้าสู่เสถียรภาพ กระหึ่ง 15.00 น. อุณหภูมิเริ่มลดลง ข้อสังเกตคือ อุณหภูมิเริ่มต้นแตกต่างกันไม่เกิน 2°C แม้ว่าจะมีการเปลี่ยนแปลงเวลาการเก็บข้อมูลห่างกันถึง 4 วัน ดังนั้น จึงเป็นการยืนยันในเบื้องต้นถึงการเปรียบเทียบข้อมูลในการวิเคราะห์ปัจจัยอื่นๆ ได้อย่างมีเหตุผล อย่างไรก็ตาม ผลการทดลองแสดงให้เห็นชัดเจนถึงความแตกต่างของอุณหภูมิต่อกระหึ่งบนหลังคา เมื่อมีแสงแดดมากขึ้น ความเข้มของแสงแดดยิ่งทำให้เกิดอุณหภูมิสูง ด้วยเหตุนี้เมื่อมีเมฆบดบังแสงแดดจึงส่งผลให้เส้นอุณหภูมิเปลี่ยนแปลงระดับด้วย นอกจากนี้ ลมยังเป็นอีกปัจจัยหนึ่งที่ทำให้อุณหภูมิเปลี่ยนแปลงได้ เช่นกัน ซึ่งสังเกตจากการทดสอบของวันที่ 22 พฤศจิกายน 2554 น่องการทดลองนี้มีการบันทึกข้อมูลในช่วงเวลากลางคืน เนื่องจากไม่มีปัจจัยหลักเกี่ยวกับแสงแดดที่จะทำให้หลังคา มีอุณหภูมิแตกต่างกันมากนัก ซึ่งยืนยันได้จากการทดลองของจุดเริ่มต้นและจุดสุดท้ายในรูปที่ 4.1 โดยไม่มีความแตกต่างของอุณหภูมิอย่างมีนัยสำคัญ



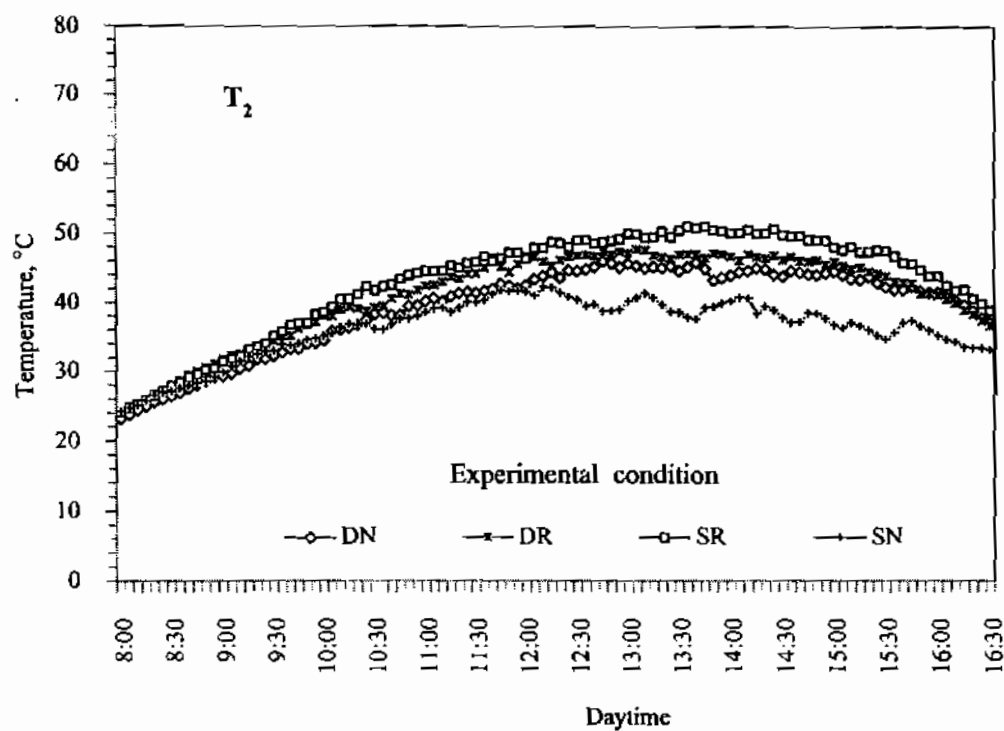
รูปที่ 4.2 : แสดงความสัมพันธ์ระหว่างเวลา กับ อุณหภูมิของการกระจายความร้อนในห้องใต้หลังคา

4.2 การกระจายอุณหภูมิภายในห้องใต้หลังคา

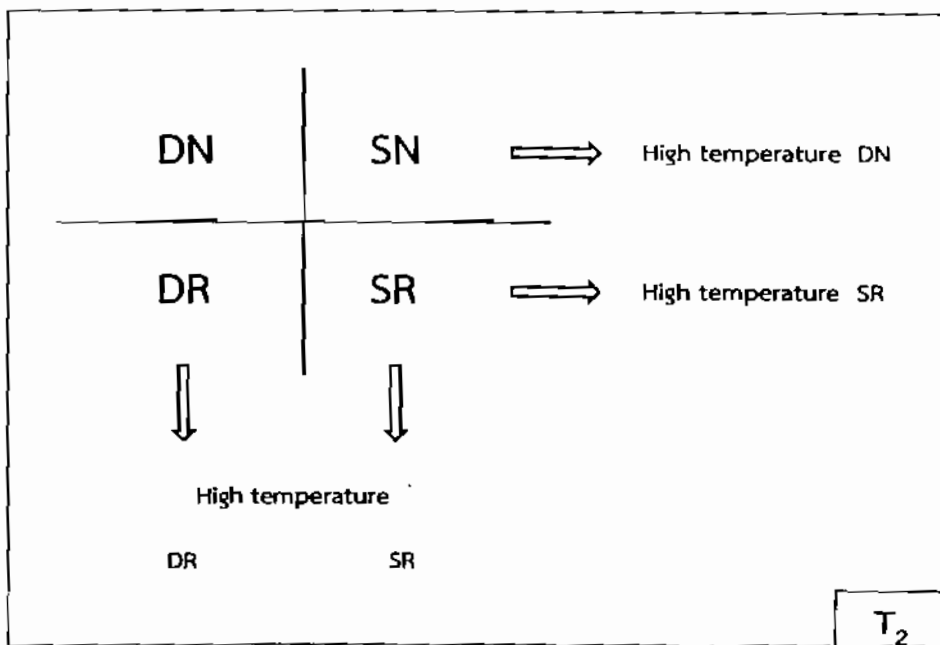
ตัวอย่างการเปลี่ยนแปลงอุณหภูมิในช่วงเวลากลางวัน ณ ตำแหน่งต่างๆ ของระบบหลังคา โดยการใช้แผ่นอลูมิเนียมพอยล์ชนิดหน้าเดียวและฝ้าเพดานแบบทั่วไปแสดงในรูปที่ 4.2 ผลการทดลองพบว่า เวลาเริ่มต้นที่ 8.00 น. อุณหภูมิทุกจุดของหลังคา (T_1 , T_2 , T_3 , และ T_4) มีค่าเท่ากัน คือ 24°C จากนั้นอุณหภูมิเพิ่มขึ้นตามเวลา เนื่องจากรังสีความร้อนจากดวงอาทิตย์แผ่นจากหลังคามีอุณหภูมิเมื่อได้รับแสงแดด อุณหภูมิ ณ ตำแหน่งต่างๆ แปรผันโดยตรงกับระยะเวลาการถ่ายเทความร้อน ดังตัวอย่าง อุณหภูมิที่เข้าสู่เสถียร ค่าของ T_1 , T_2 , T_3 , T_4 และ T_a คือ $57, 42, 40, 36$ และ 34°C ตามลำดับ หลังจากนั้นอุณหภูมิมีการเปลี่ยนแปลงขึ้น-ลงตามสภาพแวดล้อมภายนอก ส่งผลให้อุณหภูมิภายในห้องใต้หลังคาเปลี่ยนแปลงด้วยเช่นกัน ดังนั้นมีปริมาณความร้อนจากอากาศภายนอกที่ถ่ายเทผ่านเข้ามาภายในห้องใต้หลังคาโดยผ่านหลังคาลงมาจะเกิดการสะท้อนคลื่นรังสีความร้อนออกจากหลังคาและรังสีความร้อนส่วนหนึ่งจะถูกส่งผ่านมายังแผ่นอลูมิเนียมพอยล์ ซึ่งแผ่นอลูมิเนียมพอยล์จะทำหน้าที่ในการสะท้อนคลื่นความร้อนเพื่อไม่ให้รังสีความร้อนผ่านลงมายังฝ้าเพดานมากเกินไป ส่งผลให้อุณหภูมิที่ผิวหลังคาสูงที่สุด ซึ่งรังสีความร้อนจากอากาศที่ถ่ายเทเข้าไปภายในห้องใต้หลังคาจะมีปริมาณมากหรือน้อยแตกต่างกันออกไป ขึ้นอยู่กับปัจจัยทางสภาพแวดล้อมในทำนองเดียวกัน การกระจายของอุณหภูมิภายในห้องใต้หลังคาสำหรับการใช้แผ่นอลูมิเนียมพอยล์ชนิดสองหน้าแสดงในรูปที่ 4.3 ผลการทดลองแสดงแนวโน้มเดียวกันกับรูปที่ 4.2 แต่มีข้อสังเกตขัดเจนขึ้นในเรื่องความชันของเส้นอุณหภูมิจากจุดเริ่มต้นถึงจุดเสถียร แสดงถึงการเปลี่ยนแปลงสภาวะทดลองต่างๆ ภายในห้องใต้หลังคากลับอุณหภูมิที่ต่ำกว่าระบบหลังคามีผลโดยตรงต่อการเปลี่ยนแปลงอุณหภูมิภายในห้องใต้หลังคាកวบ



รูปที่ 4.3 : แสดงการกระจายอุณหภูมิของสภาวะแผ่นอลูมิเนียมฟอยล์หน้าคู่ร่วมกับฝ้าเพดานชนิดสะท้อนความร้อน



รูปที่ 4.4 (n) : แสดงความสัมพันธ์ระหว่างอุณหภูมิบนแผ่นอลูมิเนียมฟอยล์ (T_2) ในช่วงเวลากลางวันที่มีผื่นผอนใช้การทดลองที่แตกต่างกัน



รูปที่ 4.4 (ข) : แผนภาพแสดงการเปรียบเทียบอย่างง่ายจากสภาวะทดลองในรูปที่ 4.4 (ก)

4.3 อุณหภูมิแผ่นอลูมิเนียมฟอยล์

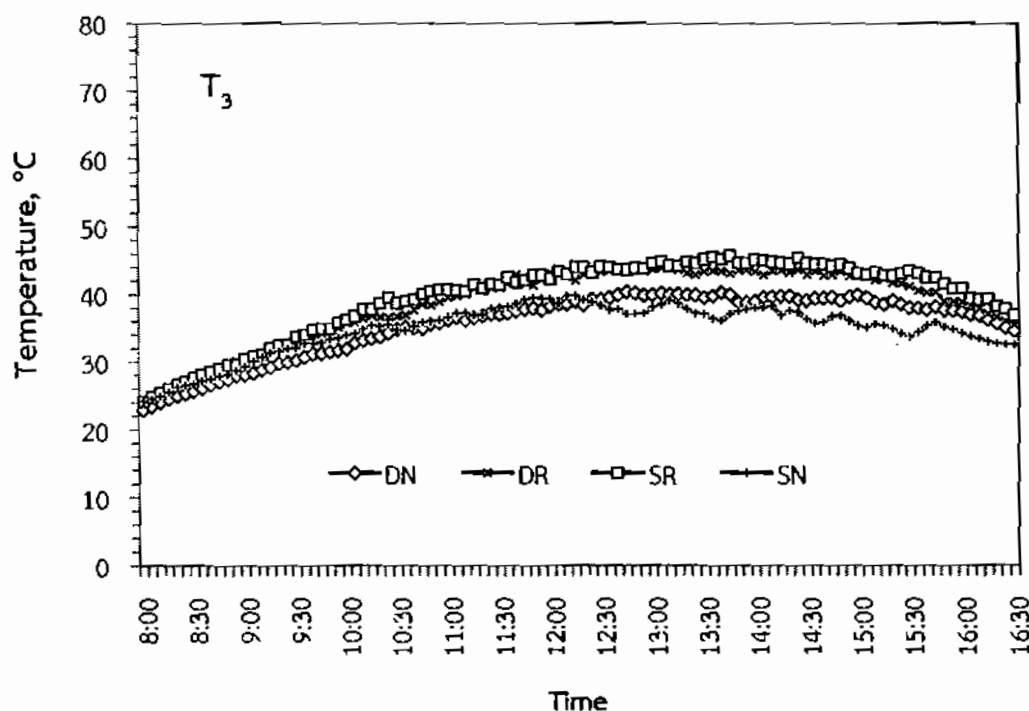
รูปที่ 4.4 (ก) แสดงการเปลี่ยนแปลงอุณหภูมิบนแผ่นอลูมิเนียมฟอยล์ในช่วงเวลากลางวัน เมื่อสภาวะทดลองเปลี่ยนไป เมื่อพิจารณาจุดเริ่มต้นของข้อมูลที่มีค่าอุณหภูมิเท่ากันแสดงถึงทุกสภาวะทดลองสามารถเปรียบเทียบกันได้ แม้มีการบันทึกข้อมูลด้วยวันเวลาที่แตกต่างกัน นอกจากนี้ ผลการทดลองยังสื่อให้เห็นถึงความแตกต่างของความร้อน เมื่อเวลาเปลี่ยนแปลงไป โดยเฉพาะในช่วงกลางวัน เพื่อให้ง่ายในการเปรียบเทียบและวิเคราะห์ผลการทดลอง ให้ดูรูปที่ 4.4 (ข) ประกอบกับผลการทดลองในรูปที่ 4.4 (ก) ซึ่งสามารถแยกอธิบายรายละเอียดดังต่อไปนี้

- พิจารณาสภาวะทดลองการใช้แผ่นอลูมิเนียมฟอยล์ชนิดหน้าคู่ และฝ้าpedan แผ่นเรียบ (DN) เปรียบเทียบกับ การใช้แผ่นอลูมิเนียมฟอยล์ชนิดหน้าเดียวและฝ้าpedan หัวไป (SN) ผลการทดลองแสดงให้เห็นถึงความร้อนสูงเกิดขึ้นกับสภาวะทดลองการใช้แผ่นอลูมิเนียมฟอยล์ชนิดหน้าคู่ และฝ้าpedan แผ่นเรียบ (DN) เนื่องจากแผ่นอลูมิเนียมฟอยล์ชนิดหน้าคู่มีมวลในการเก็บความร้อนได้มากกว่าแผ่นอลูมิเนียมฟอยล์ชนิดหน้าเดียว

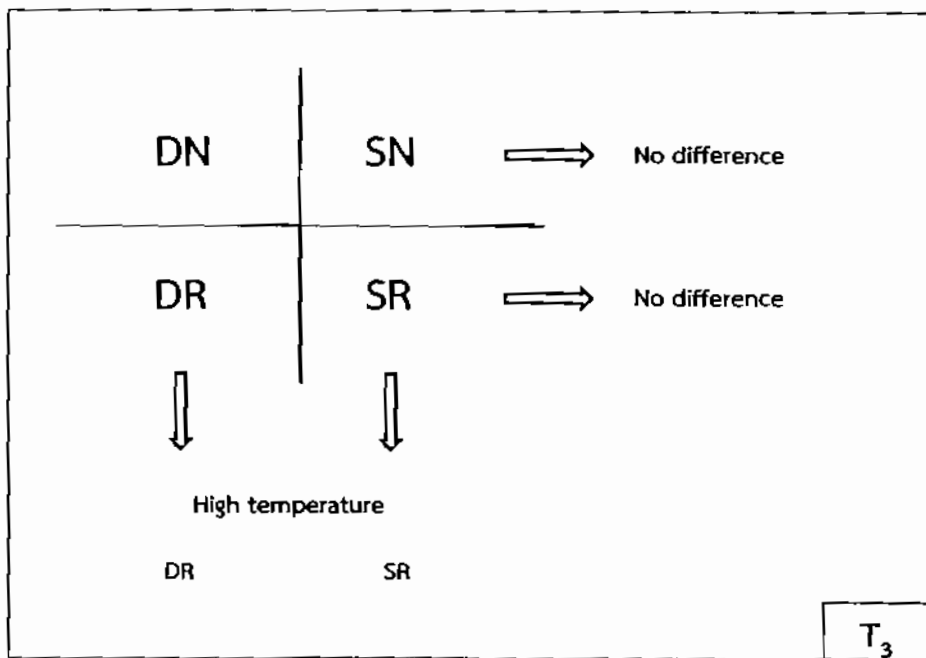
- พิจารณาสภาวะทดลองการใช้แผ่นอลูมิเนียมฟอยล์ชนิดหน้าคู่ และฝ้าpedan สะท้อนความร้อน (DR) เปรียบเทียบกับ การใช้แผ่นอลูมิเนียมฟอยล์ชนิดหน้าเดียวและฝ้าpedan สะท้อนความร้อน (SR) ผลการทดลองแสดงให้เห็นถึงความร้อนสูงเกิดขึ้นกับสภาวะ SR เนื่องจากความร้อนจากฝ้าpedan ถูกสะท้อนกลับมาอย่างแผ่นอลูมิเนียมฟอยล์ ในขณะที่แผ่นอลูมิเนียมฟอยล์ชนิดหน้าคู่ ทำหน้าที่สะท้อนความร้อนกลับไปกลับมาได้มากกว่าแผ่นอลูมิเนียมฟอยล์ชนิดหน้าเดียว

- พิจารณาสภาวะทดลองการใช้แผ่นอลูมิเนียมฟอยล์ชนิดหน้าคู่และฝ้าเพดานชนิดแผ่นเรียบ (DN) เปรียบเทียบกับสภาวะที่ใช้แผ่นอลูมิเนียมฟอยล์ชนิดหน้าคู่ร่วมกับแผ่นฝ้าเพดานชนิดสะท้อนความร้อน (DR) ผลการทดลองพบว่า อุณหภูมิสูงสุดมากที่สภาวะที่ใช้แผ่นอลูมิเนียมฟอยล์ชนิดหน้าคู่ร่วมกับแผ่นฝ้าเพดานชนิดสะท้อนความร้อน (DR) เมื่อจากความร้อนที่สะท้อนจากฝ้าเพดานบางส่วนถูกสะสมไว้ในแผ่นอลูมิเนียมฟอยล์ และบางส่วนจะถูกส่งผ่านลงมาอีกต่อไปแผ่นฝ้าเพดาน ในรูปของความจุความร้อนจำเพาะ (specific heat capacity) เหตุผลนี้ยืนยันได้จากความร้อนสูงสุดมากในสภาวะทดลองที่ใช้แผ่นอลูมิเนียมฟอยล์ชนิดเดียวและแผ่นฝ้าเพดานชนิดสะท้อนความร้อน (SR)

เมื่อพิจารณาสภาวะทดลองทั้งหมดในรูปที่ 4.4 ความร้อนสูงที่สุดคือ สภาวะที่ใช้แผ่นอลูมิเนียมฟอยล์ชนิดเดียวและแผ่นฝ้าเพดานชนิดสะท้อนความร้อน (SR) แสดงให้เห็นถึงอิทธิพลของฝ้าสะท้อนความร้อนมีบทบาทมากกว่าความจุความร้อนจำเพาะของแผ่นฟอยล์อลูมิเนียม (aluminum foil)



รูปที่ 4.5 (ก) : แสดงความลับพันธ์ระหว่างอุณหภูมิต่ำกว่าแผ่นอลูมิเนียมฟอยล์ (T_3) ในช่วงเวลากลางวันที่มีเงื่อนไขการทดลองที่แตกต่างกัน

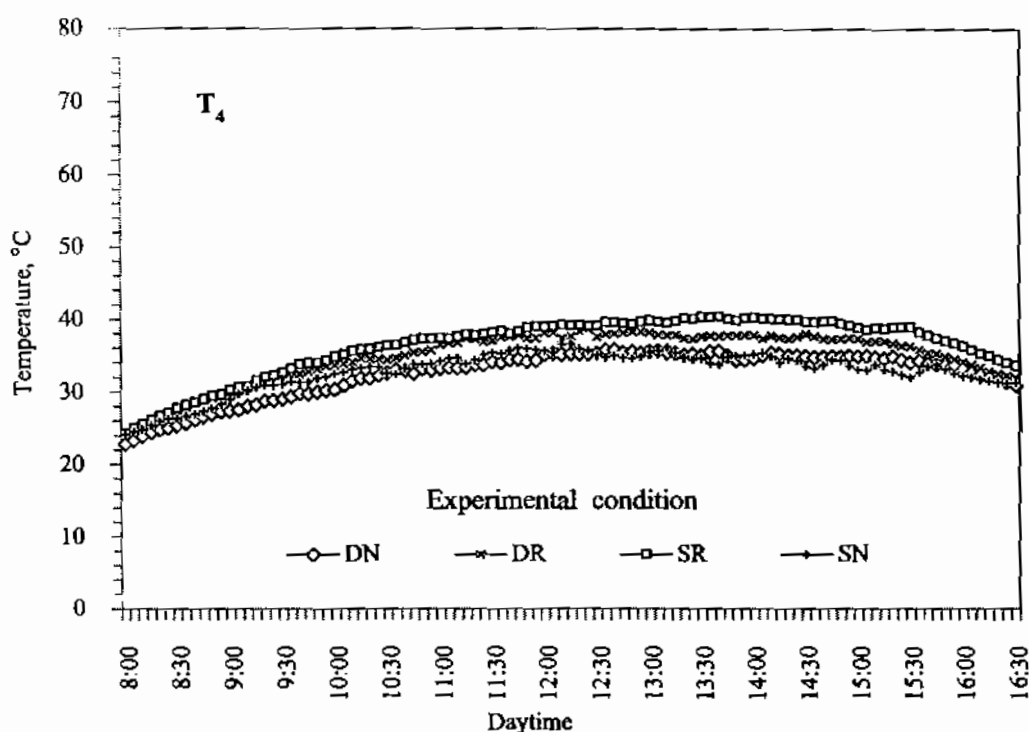


รูปที่ 4.5 (ข) : แผนภาพแสดงการเปรียบเทียบอย่างง่ายจากสภาวะทดลองในรูปที่ 4.5 (ก)

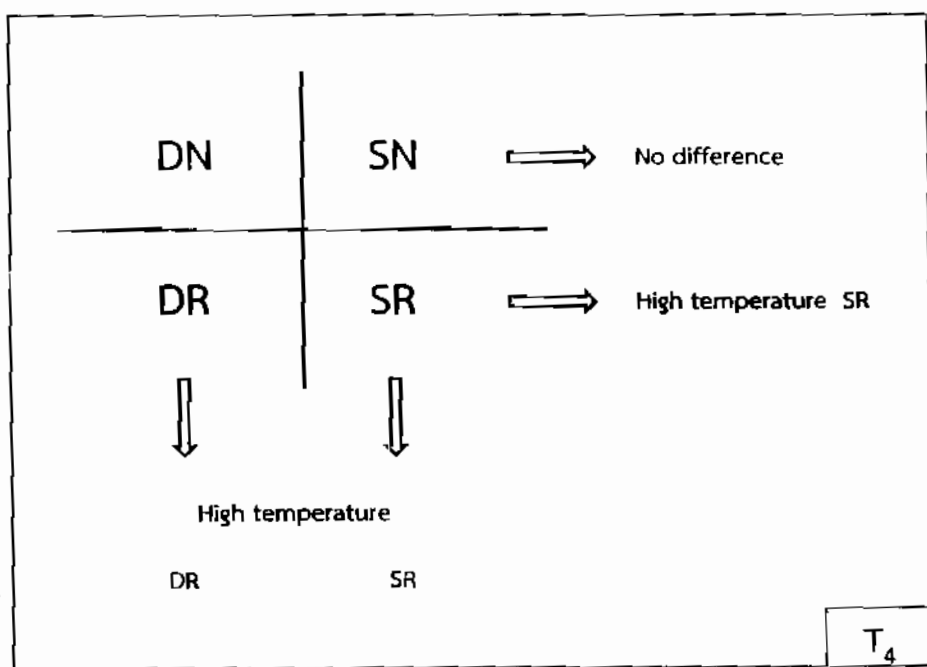
เพื่อความกระจ้างชัดของพฤติกรรมการสะท้อนความร้อนของแผ่นอลูมิเนียมฟอยล์ ร่วมกับการสะท้อนรังสีความร้อนของฝ้าpedan อุณหภูมิได้แผ่นอลูมิเนียมฟอยล์จึงถูกวัด ดังแสดงในรูปที่ 4.5 (ก) อีกทั้งเพื่อให้ง่ายต่อการวิเคราะห์ข้อมูลจึงจำเป็นต้องพิจารณาร่วมกับรูปที่ 4.5 (ข) ผลการทดลองยืนยันได้ชัดเจนแล้วว่า การเปลี่ยนแปลงชนิดของแผ่นอลูมิเนียมฟอยล์ไม่มีบทบาทต่ออุณหภูมิที่ถ่ายเทผ่านแผ่นอลูมิเนียมฟอยล์ลงมายังฝ้าpedan เนื่องจากรังสีความร้อนจากดวงอาทิตย์ที่ส่องลงมายังหลังคาโดยตรงจะถูกถ่ายเทความร้อนมายังแผ่นอลูมิเนียมฟอยล์แต่รังสีความร้อนบางส่วนจะถูกสะท้อนไปเก็บสะสมไว้ที่กระเบื้องหลังคา และบางส่วนจะถูกส่งลงมายังฝ้าpedan จึงทำให้ฝ้าpedan มีอุณหภูมิต่ำ แต่ในขณะเดียวกันเมื่อเปลี่ยนชนิดของฝ้าpedan ความร้อนจากฝ้าpedan จะถูกสะท้อนกลับมายังแผ่นอลูมิเนียมฟอยล์และรังสีความร้อนบางส่วนจะถูกสะสมอยู่ในแผ่นอลูมิเนียมฟอยล์ สองผลให้อุณหภูมิที่แผ่นอลูมิเนียมฟอยล์สูงกว่า ดังนั้นการเปลี่ยนแปลงชนิดของฝ้าpedan มีผลต่อความร้อนที่สะท้อนไปยังแผ่นอลูมิเนียมฟอยล์ อย่างไรก็ตามอุณหภูมิที่เกิดบนฝ้าpedan มีความสำคัญมากกว่า ซึ่งจะกล่าวในรายละเอียดต่อไป

4.4 อุณหภูมิบันฝ้าpedan

รูปที่ 4.6 (ก) แสดงการเปลี่ยนแปลงอุณหภูมิบันฝ้าpedan ในช่วงเวลากลางวัน เมื่อมีการเปลี่ยนแปลงแผ่นอลูมิเนียมฟอยล์และฝ้าpedan เพื่อให้ง่ายในการวิเคราะห์ข้อมูลจึงจำเป็นต้องพิจารณา ร่วมกับรูปที่ 4.6 (ช) เมื่อเปรียบเทียบสภาวะทดลองการใช้แผ่นอลูมิเนียมฟอยล์ชนิดหน้าคู่ และฝ้าpedan แผ่นเรียบ (DN) เปรียบเทียบกับ การใช้แผ่นอลูมิเนียมฟอยล์ชนิดหน้าเดียวและฝ้าpedan แผ่นเรียบ (SN) อุณหภูมิที่ทำแห่งฝ้าpedan ไม่ได้แตกต่างกัน เนื่องจากอุณหภูมิได้ส่งผ่านมาอย่างแผ่นอลูมิเนียมฟอยล์ (T_3) ไม่แตกต่างกัน อย่างไรก็ตาม เมื่อพิจารณาสภาวะทดลองการใช้แผ่นอลูมิเนียมฟอยล์ชนิดหน้าคู่ และฝ้าpedan สะท้อนความร้อน (DR) เปรียบเทียบกับ สภาวะการใช้แผ่นอลูมิเนียมฟอยล์ชนิดหน้าเดียวและฝ้าpedan สะท้อนความร้อน (SR) พนว่า ในช่วงเช้าอุณหภูมิไม่แตกต่างกัน อย่างมีนัยสำคัญ มีเพียงช่วงบ่ายที่ปราภูมิสูงกว่าเล็กน้อย (ประมาณ 2°C) เนื่องจากเกิดความแปรปรวน ของสภาวะทดลอง ซึ่งจำเป็นต้องศึกษาอย่างละเอียดต่อไป อนึ่ง จากผลการทดลองแสดงชัดเจน สภาวะทดลองที่ใช้ฝ้าpedan สะท้อนความร้อนให้อุณหภูมิสูงกว่าการใช้ฝ้าpedan ชนิดแผ่นเรียบ เนื่องจากความร้อนจากแผ่นอลูมิเนียมฟอยล์บางส่วนส่งผ่านลงมาอย่างแผ่นฝ้าpedan ในขณะเดียวกันฝ้าpedan จะทำหน้าที่สะท้อนความร้อน ทำให้เกิดโมเลกุลของอากาศจากแผ่นอลูมิเนียมฟอยล์มาอย่างฝ้าpedan มาก ทำให้ฝ้าpedan ชนิดสะท้อนความร้อนได้สะท้อนความร้อนบางส่วนและเก็บความร้อน บางส่วนไว้ในแผ่นฝ้าpedan และความร้อนที่ถูกเก็บไว้ในแผ่นฝ้าpedan จะถ่ายความร้อนออกมานอกไปในช่วง ที่แสงแดดหมัดลงซึ่งความร้อนที่ถ่ายออกมานั้นจะใช้เวลานานมากถึงจะถ่ายความร้อนได้หมด ในขณะเดียวกัน เมื่อนำมาเปรียบเทียบกับสภาวะการใช้งานของแผ่นอลูมิเนียมฟอยล์ชนิดหน้าเดียวร่วมกับ ฝ้าpedan ชนิดแผ่นเรียบ (SN) เมื่อความร้อนจากแผ่นอลูมิเนียมฟอยล์ส่งมาอย่างแผ่นฝ้าpedan จะถูกส่งลง ไปยังตัวบ้านได้เลย แต่ในขณะเดียวกันแผ่นฝ้าpedan ชนิดนี้ไม่เก็บความร้อน ดังนั้นมือแสงแดดหมัดลง จะมีการถ่ายเทความร้อนได้เร็วมากจึงทำให้ตัวบ้านเย็นกว่า จากผลการทดลองแสดงชัดเจน สภาวะทดลองที่ใช้ฝ้าpedan สะท้อนความร้อนให้อุณหภูมิสูงกว่าการใช้ฝ้าpedan ชนิดแผ่นเรียบ เนื่องจากความร้อนบางส่วนถูกสะสมไว้กับแผ่นอลูมิเนียมฟอยล์ในรูปของค่าความจุความร้อนจำเพาะ เมื่อพิจารณา กรณีการถ่ายความร้อนของฝ้าpedan แผ่นอลูมิเนียมฟอยล์นั้นสามารถระบายน้ำความร้อนได้ดีกว่า เนื่องจากมีค่าการนำความร้อนต่ำกว่าฝ้าpedan ชนิดแผ่นเรียบหั้งนี้ควรมีการศึกษาในรายละเอียดต่อไป



รูปที่ 4.6 (ก) : แสดงความสัมพันธ์ระหว่างอุณหภูมิบนแผ่นอลูมิเนียมฟอยล์ (T_4) ในช่วงเวลากลางวันที่มีเพื่อนในการทดลองที่แตกต่างกัน

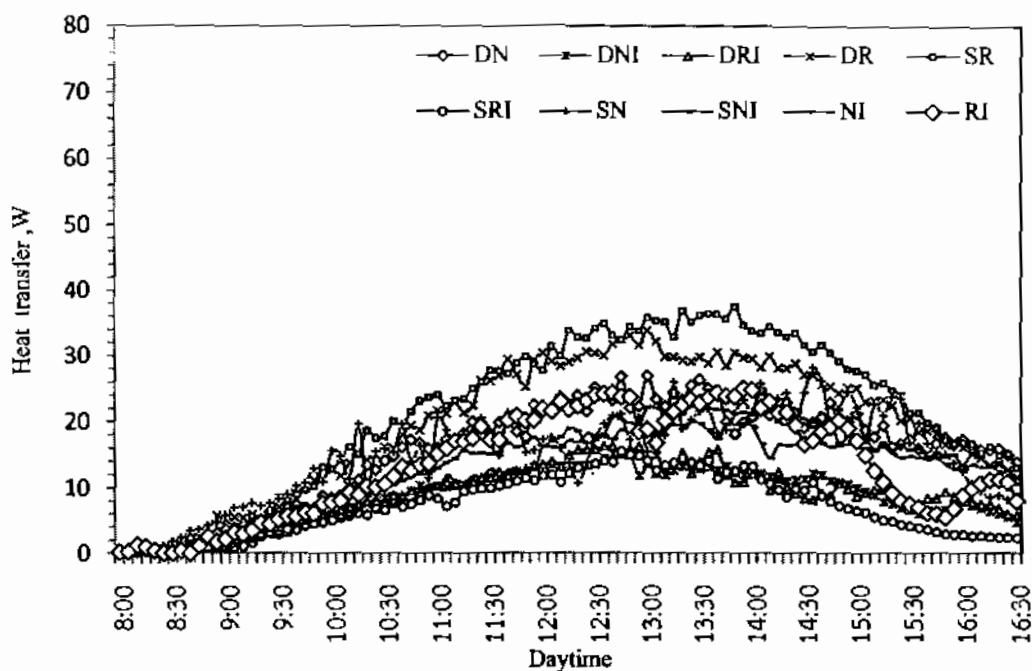


รูปที่ 4.6 (ข) : แผนภาพแสดงการเปรียบเทียบอย่างง่ายจากสภาวะทดลองในรูปที่ 4.6 (ก)

เมื่อเปรียบเทียบสภาวะที่ใช้แผ่นอลูมิเนียมฟอยล์ชนิดหน้าคู่ร่วมกับแผ่นฝ้าเพดานชนิดแผ่นเรียบ (DN) และ สภาวะที่ใช้แผ่นอลูมิเนียมฟอยล์ชนิดหน้าคู่ร่วมกับแผ่นฝ้าเพดานชนิดสะท้อนความร้อน (DR) จะเห็นว่าอุณหภูมิสูงจะอยู่ที่ สภาวะที่ใช้แผ่นอลูมิเนียมฟอยล์ชนิดหน้าคู่ร่วมกับแผ่นฝ้าเพดานชนิดสะท้อนความร้อน (DR) เนื่องจากสีความร้อนที่สะท้อนจากฝ้าเพดานบางส่วนถูกสะสมไว้ในแผ่นอลูมิเนียมฟอยล์ และบางส่วนจะถูกส่งลงมาอีกด้วย แต่แผ่นฝ้าเพดานในรูปของความร้อนจำเพาะ อย่างไรก็ตาม แผ่นฝ้าเพดานชนิดสะท้อนความร้อนสามารถลดสะท้อนความร้อนได้ต่ำกว่าแผ่นฝ้าเพดานทั่วไป จากนั้นอนุมาโนไปที่ลักษณะทดสอบของสภาวะที่ใช้แผ่นอลูมิเนียมฟอยล์ชนิดหน้าเดียร่วมกับแผ่นฝ้าเพดานชนิดสะท้อนความร้อน (SR) และสภาวะที่ใช้แผ่นอลูมิเนียมฟอยล์ชนิดหน้าเดียร่วมกับแผ่นฝ้าเพดานชนิดแผ่นเรียบ (SN) จะเห็นได้ว่าอุณหภูมิต่ำกว่ารากฐานที่สภาวะที่ใช้แผ่นอลูมิเนียมฟอยล์ชนิดหน้าเดียร่วมกับแผ่นฝ้าเพดานชนิดแผ่นเรียบ (SN) เนื่องจากว่ารังสีความร้อนจากแผ่นอลูมิเนียมฟอยล์ จะส่งผ่านลงมาอีกด้วย แผ่นฝ้าเพดานซึ่งแผ่นฝ้าเพดานชนิดสะท้อนความร้อนจะสามารถลดสะท้อนรังสีความร้อนได้มากกว่าแผ่นฝ้าเพดานชนิดแผ่นเรียบจึงส่งผลให้อุณหภูมิที่แผ่นฝ้าเพดานชนิดแผ่นเรียบต่ำกว่า นอกจานี้จากภาพอุณหภูมิที่ตำแหน่งบนหลังคา (T_1) ในสภาวะทดลองที่ใช้แผ่นอลูมิเนียมฟอยล์ชนิดหน้าเดียร่วมกับแผ่นฝ้าเพดานชนิดแผ่นเรียบ (SN) ให้ค่าอุณหภูมิที่ต่ำ เป็นเหตุให้อุณหภูมิที่ตำแหน่งบนฝ้าเพดาน (T_4) ของสภาวะการทดลองดังกล่าวต่ำกว่าตัวอย่างเช่นกัน

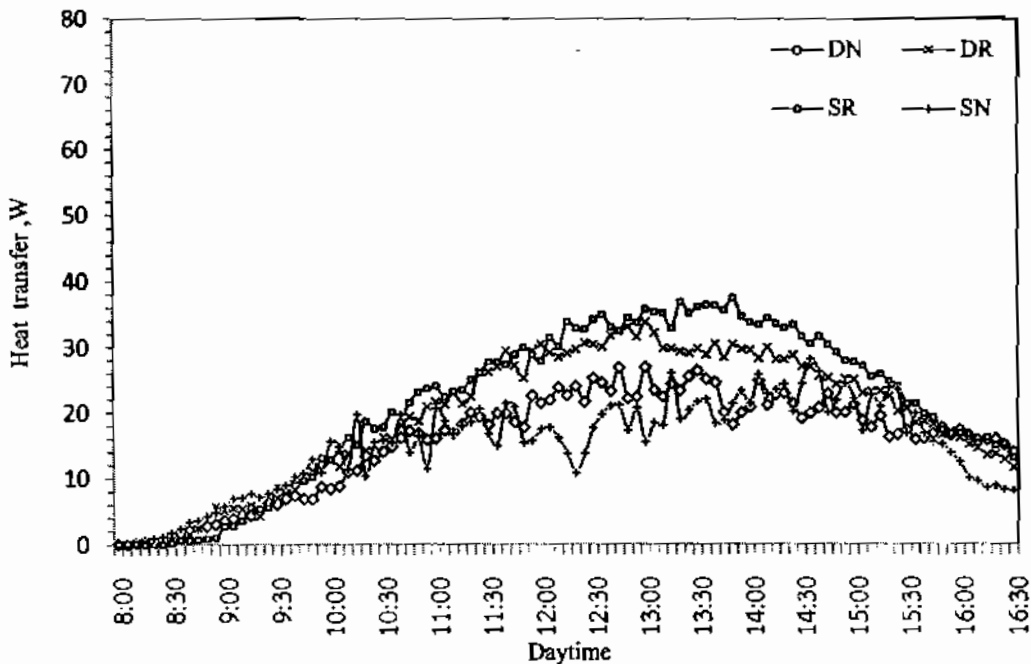
จากการงานนี้ มีคำแนะนำเบื้องต้นในการติดตั้งระบบหลังคาและฝ้าเพดานเพื่อลดความร้อน หรืออาคารและประหยัดค่าใช้จ่าย ทางเลือกที่ดีที่สุด คือ ใช้แผ่นอลูมิเนียมฟอยล์ชนิดหน้าเดียร่วมกับฝ้าเพดานชนิดแผ่นเรียบทั่วไป

ในบางกรณีแผ่นฉนวนความร้อนถูกวางไว้บนฝ้าเพดาน ทำหน้าที่เป็นฉนวนกันความร้อนให้กับระบบหลังคา เช่นกัน ผลการทดลองดังแสดงในรูป 4.7 แสดงความชัดเจนของความร้อนเกิดขึ้นสูงมาก เมื่อปราศจากแผ่นอลูมิเนียมฟอยล์ชนิดสะท้อนความร้อนได้แผ่นมุงหลังคา เนื่องจากความร้อนสามารถถ่ายเทสู่ฝ้าเพดานได้โดยตรง ในขณะที่การใช้แผ่นอลูมิเนียมฟอยล์ชนิดหน้าคู่และแผ่นอลูมิเนียมฟอยล์ชนิดหน้าเดียร์จะช่วยในการสะท้อนคลื่นความร้อนได้แผ่นมุงหลังคาส่งผลให้อุณหภูมิตกกระทบฉนวนความร้อนลดลง ความแตกต่างของอุณหภูมิบนฝ้าเพดาน (T_4) จึงไม่มีนัยสำคัญ อีกนัยหนึ่งการใช้ฉนวนความร้อนบนฝ้าเพดานเป็นการขัดขวางความสามารถในการลดสะท้อนคลื่นความร้อนเปรียบเสมือนสภาวะการใช้งานจริงที่มีผู้บุกรุกฉนวนความร้อน ดังนั้น ผลการทดลองจึงแสดงชัดเจนถึงความไม่จำเป็นในการใช้ฝ้าชนิดสะท้อนความร้อน อย่างไรก็ตามกรณีนี้มีผลเสียกับบ้านพักอาศัย เนื่องจากในช่วงเวลากลางวัน ฉนวนความร้อนทำหน้าที่ได้ดี (เป็นประโยชน์กับอาคารสำนักงานในเวลากลางวัน) ในขณะที่ช่วงเวลากลางคืนความร้อนที่สะสมไว้ด้วยฉนวนความร้อนนี้จะถูกถ่ายเทออกมานะ ซึ่งสอดคล้องกับการทดลองของวิกรม จำนวนจิตต์, 2501



ที่มา : จากตารางข้อมูลภาคผนวก ก.4

รูปที่ 4.7 : แสดงความสัมพันธ์ระหว่างค่าการถ่ายเทความร้อนกับเวลาในช่วงเวลากลางวันที่มีเงื่อนไขการทดลองที่แตกต่างกัน



รูปที่ 4.8 : แสดงการเปรียบเทียบค่าการถ่ายเทความร้อนในช่วงเวลากลางวันที่มีเงื่อนไขการทดลองที่แตกต่างกัน

4.5 การถ่ายเทความร้อนภายในห้องได้หลังคา

จากรูปที่ 4.7 ผลการทดลองแสดงถึงค่าการถ่ายเทความร้อนมีลักษณะเข่นเดียวกันกับลักษณะของอุณหภูมิของแต่ละวันที่มีเงื่อนไขในการทดลองที่แตกต่างกัน ซึ่งจะมีค่าเพิ่มขึ้นอย่างต่อเนื่องในช่วงเริ่มต้นจนกระทั่งเวลาประมาณ 12.30 น. ค่าการถ่ายเทความร้อนเข้าสู่เสถียรภาพ กระทั่งเวลา 15.00 น. ค่าการถ่ายเทความร้อนเริ่มลดลง และเมื่อทำการเปรียบเทียบสภาวะทดลองที่ไม่ติดฉนวนไยแก้ว แสดงดังรูป 4.8 จะเห็นว่า ค่าการถ่ายเทความร้อนในสภาวะการใช้แผ่นอลูมิเนียมฟอยล์ชนิดหน้าผ้าร่วมกับแผ่นฝ้าเพดานชนิดแผ่นเรียบ (SN) ต่ำสุด สามารถลดการถ่ายเทความร้อนเข้าสู่ตัวบ้านได้ดีที่สุด เมื่อนำค่าการถ่ายเทความร้อนเปรียบเทียบกับอุณหภูมิในตำแหน่งฝ้าเพดาน จะเห็นได้ว่า ค่าการถ่ายเทความร้อนและอุณหภูมิจะมีค่าที่ต่ำสุด คือ สภาวะสภาวะการใช้แผ่นอลูมิเนียมฟอยล์ชนิดหน้าผ้าร่วมกับแผ่นฝ้าเพดานชนิดแผ่นเรียบ (SN) ดังนั้น จึงสรุปได้ว่า ค่าการถ่ายเทความร้อนตามค่าผลต่างของอุณหภูมิ การถ่ายเทความร้อนเข้าสู่ตัวบ้านโดยผ่านหลังคาอาคาร มีการนำความร้อนผ่านมวลสารของวัสดุหลังคาและการพากความร้อนเข้าสู่ภายในอาคาร ในกรณีที่อุณหภูมิภายในอาคารต่ำกว่า ซึ่งปริมาณความร้อนที่เข้าสู่อาคารซึ่งอยู่กับสมบัติของมวลสาร ไม่ว่าจะเป็นความสามารถในการหน่วงเหนี่ยวความร้อน ความสามารถในการดูดซึมรังสี ความสามารถในการสะท้อนรังสี เป็นต้น ดังนั้น ความสามารถในการด้านหน้าความร้อนของวัสดุเป็นตัวบ่งชี้ (Indicator) ที่มีความเหมาะสมในการบอกถึงศักยภาพในการประยุกต์พัฒนาของหลังคา เพราะปริมาณความร้อนจากอากาศภายนอกที่ถ่ายเทผ่านเข้ามายังในตัวบ้านโดยผ่านหลังคาจะมีปริมาณมากหรือน้อยแตกต่างกันออกไป ขึ้นอยู่กับสมบัติในความเป็นฉนวนของวัสดุแต่ละชนิด หลังคาที่มีความสามารถในการสกัดกันไม่ให้ความร้อนถ่ายเทผ่านจากภายนอกของหลังคาไปยังภายในอาคารสำหรับภูมิอากาศแบบร้อนได้ดี ทำให้ช่วยลดปริมาณความร้อนที่ถ่ายเทเข้าสู่ภายในตัวบ้านได้มาก

บทที่ 5

สรุปผลการทดลองและข้อเสนอแนะ

5.1 สรุปผลการทดลอง

รายงานวิจัยฉบับนี้มุ่งเน้นที่จะศึกษาการถ่ายเทความร้อนของระบบดูนวนความร้อนที่ถูกติดตั้งให้หลังคาและบนผ้าเดาณเพื่อค้นหาวิธีการติดตั้งระบบดูนวนความร้อนให้เกิดประสิทธิภาพสูงสุด โดยทำการเปรียบสภาวะทดลองต่างๆ สามารถสรุปผลการทดลองได้ดังนี้

- 1) แสงแดดและลมมีผลโดยตรงต่อความร้อนต่อกกระหบหลังคา ความเข้มของแสงแดดยิ่งมาก ประกอบกับไปมีลมส่งผลให้หลังคามีความร้อนสูง
- 2) อุณหภูมิในตำแหน่งต่างๆ ของห้องใต้หลังคายังได้รับอิทธิพลจากการเปลี่ยนแปลงสภาวะทดลอง ในห้องใต้หลังคาและระยะทางการถ่ายเทความร้อน
- 3) แผ่นอลูมิเนียมฟอยล์หน้าคู่มีความสามารถในการสะท้อนความร้อนจากผ้าเดาณได้มากกว่า แผ่นอลูมิเนียมฟอยล์หน้าเดียว
- 4) ความร้อนที่ถูกสะท้อนจากผ้าเดาณสามารถสะสมไว้ในแผ่นอลูมิเนียมฟอยล์หน้าเดียวได้มากกว่าแผ่นอลูมิเนียมฟอยล์หน้าคู่
- 5) อิทธิพลของความร้อนที่ถูกสะท้อนจากผ้าเดาณมีบทบาทสำคัญกว่าค่าความชุกความร้อนของ แผ่นอลูมิเนียมฟอยล์คู่
- 6) การใช้ผ้าเดาณชนิดสะท้อนความร้อนทำให้เกิดอุณหภูมิบนผ้าเดาณมากกว่าการใช้ผ้า เดาณชนิดแผ่นเรียบเป็นผลมาจากการร้อนบางส่วนถูกสะสมไว้ในแผ่นอลูมิเนียมฟอยล์
- 7) การติดตั้งดูนวนกันความร้อนบนผ้าเดาณมีข้อดีคือ ทำหน้าที่เป็นดูนวนความร้อนในช่วง กลางวันในขณะที่ช่วงเวลากลางคืนดูนวนความร้อนจะหายความร้อนออกมากซึ่งไม่เป็นผลดีนัก กับบ้านพักอาศัย
- 8) ทางเลือกที่ดีที่สุดเกี่ยวกับการประยัดพลังงานและค่าใช้จ่าย คือ การเลือกใช้แผ่นอลูมิเนียม ฟอยล์ชนิดหน้าเดียวร่วมกับผ้าเดาณชนิดแผ่นเรียบ

5.2 ข้อเสนอแนะ

- (1) ควรศึกษาข้อมูลในเรื่องของความเข้มของรังสีความร้อนและความเร็วลม
- (2) ควรศึกษาและเก็บข้อมูลตลอดทั้งปี ทั้งในช่วงฤดูร้อน ฤดูหนาว และฤดูฝน
- (3) ควรมีการสร้างแบบจำลองหลายชุดเพื่อแยกสภาวะการทดลองให้ชัดเจน และทดลองในสภาพอากาศเดียวกัน ในวันเวลาเดียวกัน เพื่อนำมาเปรียบเทียบค่าการถ่ายเทความร้อน
- (4) ควรทำการวัดอุณหภูมิที่ตำแหน่งตัวแผ่นฝ้าเพดาน เพื่อความละเอียดของข้อมูล
- (5) จำนวนที่ติดสายเทอร์โมคัปเปลี่ยนเข้ากับตำแหน่งที่ใช้ในการทดลอง อาจมีผลต่อข้อมูลการทดลอง

บรรณานุกรม



บรรณานุกรม

จญาดา บุญยเกียรติ, การลดการถ่ายเทความร้อนเข้าสู่ตัวอาคารทางหลังคา, วิทยานิพนธ์มหาบัณฑิต. สถาปัตยกรรมศาสตร์ (สถาปัตยกรรม) จุฬาลงกรณ์มหาวิทยาลัย, 2536.

จุไรพร คุณพสุวรรณ, พฤติกรรมการถ่ายเทความร้อนผ่านวัสดุห้องหลังคาบ้านพักอาศัยในเขตร้อนชื้น, วิทยานิพนธ์มหาบัณฑิต. สถาปัตยกรรมศาสตร์ (เทคโนโลยีอาคาร) จุฬาลงกรณ์มหาวิทยาลัย, 2540.

ปานพิพิญ ทักษ์เสถียร, การศึกษาเปรียบเทียบลักษณะรูปทรงและวัสดุห้องหลังคาเพื่อส่งเสริมการอนุรักษ์พลังงาน, วิทยานิพนธ์มหาบัณฑิต. วิทยาศาสตร์ (เทคโนโลยีที่เหมาะสมเพื่อการพัฒนาทรัพยากร) มหาวิทยาลัยมหิดล, 2541.

วิกรม จำนงค์จิตต์, ประดิษฐ์ผลของการออกแบบการระบายอากาศซ่องใต้หลังคาเพื่อป้องกันการถ่ายเทความร้อนจากหลังคา, วิทยานิพนธ์มหาบัณฑิต. สถาปัตยกรรมศาสตร์ (สถาปัตยกรรม) จุฬาลงกรณ์มหาวิทยาลัย, 2545.

ศุภกิจ ยิ่มสรวล, การใช้สวนหลังคาเพื่อลดการถ่ายเทความร้อน, วิทยานิพนธ์มหาบัณฑิต. สถาปัตยกรรมศาสตร์ (เทคโนโลยีทางอาคาร) จุฬาลงกรณ์มหาวิทยาลัย, 2541.

สมพงษ์ ใจมา, การวิเคราะห์สมรรถนะของห้องหลังคารับรังสีอาทิตย์, วิทยานิพนธ์มหาบัณฑิต. วิศวกรรมศาสตร์ (เทคโนโลยีอุณหภพ) มหาวิทยาลัยเทคโนโลยีพระจอมเกล้าธนบุรี, 2540.

อนุสรณ์ แสงประจักษ์, พลังงานแสงอาทิตย์, ภาควิชาพิสิกส์ คณะวิทยาศาสตร์ มหาวิทยาลัยมหาสารคาม, 2551

อุทัย ประพัชชิงชนะ, การวิเคราะห์การถ่ายเทความร้อนผ่านระบบหลังอาคาร, วิทยานิพนธ์มหาบัณฑิต. วิศวกรรมศาสตร์ (วิศวกรรมเครื่องกล) จุฬาลงกรณ์มหาวิทยาลัย, 2541.

S. Maneewan, J. Hirunlabh, J. Khedari, B. Zeghamti, S. Teekasap, Solar Energy 78 (2005) 495–503

T. Soubdhan *, T. Feuillard, and F. Bade, Solar Energy 79 (2005) 311–320.

ภาคผนวก



ภาคผนวก ก

ตารางสมบัติของอาคารและวัสดุ



ตาราง ก.1: แสดงคุณสมบัติอากาศที่ความดันบรรยายการคิด

T, K	$\rho,$ kg/m^3	c_p J/kg.K	$\mu,$ kg/m.s $\times 10^{-5}$	V, m^3/s $\times 10^6$	k, W/m.K	$\alpha,$ m^2/s $\times 10^{-4}$	Pr
100	3.6010	1.0266	0.6924	1.923	0.009246	0.02501	0.770
150	2.3675	1.0099	1.0283	4.343	0.013735	0.05745	0.753
200	1.7684	1.0061	1.3289	7.490	0.018090	0.10163	0.739
250	1.4128	1.0033	1.5990	11.310	0.022270	0.15675	0.722
300	1.1774	1.0057	1.8462	15.690	0.026240	0.22160	0.708
350	0.9980	1.0090	2.0750	20.760	0.030030	0.29830	0.697
400	0.8326	1.0140	2.2860	24.900	0.033450	0.37600	0.689
450	0.7333	1.0207	2.4840	31.710	0.037070	0.42220	0.683
500	0.7048	1.0295	2.6710	37.900	0.040380	0.55640	0.680
550	0.6423	1.0392	2.8480	44.340	0.043600	0.65320	0.680
600	0.5879	1.0531	3.0180	51.340	0.046590	0.75120	0.680
650	0.5430	1.0635	3.1770	58.510	0.049530	0.83780	0.682
700	0.5030	1.0752	3.3320	66.250	0.052300	0.96720	0.684
750	0.4709	1.0856	3.4810	73.910	0.055090	1.07740	0.686
800	0.4405	1.0978	3.6250	82.290	0.057790	1.19510	0.689
850	0.4149	1.1095	3.7650	90.750	0.060280	1.30970	0.692
900	0.3923	1.1212	3.8990	99.300	0.062790	1.42710	0.696
950	0.3716	1.1321	4.0230	108.200	0.065250	1.55100	0.699
1000	0.3524	1.1417	4.1520	117.800	0.067520	1.67790	0.702
1100	0.3204	1.1600	4.4400	138.600	0.073200	1.96900	0.704
1200	0.2947	1.1790	4.6900	159.100	0.078200	2.25100	0.707
1300	0.2707	1.1970	4.9300	182.100	0.083700	2.58300	0.705
1400	0.2515	1.2140	5.1700	205.500	0.089100	2.92000	0.705
1500	0.2355	1.2300	5.4000	229.100	0.094600	3.26200	0.705
1600	0.2211	1.2480	5.6300	254.500	0.100000	3.60900	0.705
1700	0.2082	1.2670	5.8500	280.500	0.105000	3.97700	0.705
1800	0.1970	1.2870	6.0700	308.100	0.111000	4.37900	0.704
1900	0.1858	1.3090	6.2900	338.500	0.117000	4.81100	0.704
2000	0.1762	1.3380	6.5000	369.000	0.124000	5.26000	0.702
2100	0.1682	1.3720	6.7200	399.600	0.131000	5.71500	0.700
2200	0.1602	1.4190	6.9300	432.600	0.139000	6.12000	0.707
2300	0.1538	1.4620	7.1400	464.000	0.149000	6.54000	0.710
2400	0.1458	1.5140	7.3500	504.000	0.161000	7.02000	0.718
2500	0.1394	1.5680	7.5700	543.500	0.175000	7.44100	0.730

ตาราง ก. 2 : แสดงแพกเตอร์เปลี่ยนหน่วย

Dimension	Metric	Metric/English
ความเร็ว	$1 \text{ m/s}^2 = 100 \text{ cm/s}^2$	$1 \text{ m/s}^2 = 3.2808 \text{ ft/s}^2$ $1 \text{ ft/s}^2 = 0.3048 \text{ m/s}^2$
พื้นที่	$1 \text{ m}^2 = 10^4 \text{ cm}^2 = 10^6 \text{ mm}^2 = 10^{-6} \text{ km}^2$	$1 \text{ m}^2 = 1550 \text{ in}^2 \approx 10.764 \text{ ft}^2$ $1 \text{ ft}^2 = 144 \text{ in}^2$
ความหนาแน่น	$1 \text{ g/cm}^3 = 1 \text{ kg/L} = 1000 \text{ kg/m}^3$	$1 \text{ g/cm}^3 = 62.428 \text{ lbm/ft}^3 = 0.036127 \text{ lbm/in}^3$ $1 \text{ lbm/ft}^3 = 1728 \text{ lbm/in}^3$ $1 \text{ kg/m}^3 = 0.062428 \text{ lbm/ft}^3$
พลังงาน การร้อน งาน เมกะพลังงาน เชิงลบ	$1 \text{ kJ} = 1000 \text{ J} = 1000 \text{ N}\cdot\text{m} = 1 \text{ kPa}\cdot\text{m}^3$ $1 \text{ kJ/kg} = 1000 \text{ m}^2/\text{s}^2$ $1 \text{ kWh} = 3600 \text{ kJ}$ $1 \text{ cal} = 4.184 \text{ J}$ $1 \text{ csl} = 4.1868$	$1 \text{ kJ} = 0.94782 \text{ Btu}$ $1 \text{ Btu} = 1.055056 \text{ kJ}$ $\approx 5.40395 \text{ psia}\cdot\text{ft}^2$ $= 778.169 \text{ lbft}\cdot\text{ft}$ $1 \text{ Btu/lbm} = 25.037 \text{ ft}^2/\text{s}^2 \approx 2.326 \text{ kJ/kg}$ $1 \text{ kJ/kg} = 0.430 \text{ btu/lbm}$ $1 \text{ kWh} = 3412.14 \text{ Btu}$
力	$1 \text{ N} = 1 \text{ kg}\cdot\text{m/s}^2 = 10 \text{ dyne}$ $1 \text{ kgf} = 9.80665 \text{ N}$	$1 \text{ lbf} = 32.174 \text{ lbm}\cdot\text{ft/s}^2 = 4.44822 \text{ N}$ $1 \text{ N} = 0.22481 \text{ lbf}$
ความยาว	$1 \text{ m} = 100 \text{ cm} = 1000 \text{ mm}$ $1 \text{ km} = 1000 \text{ m}$	$1 \text{ m} = 39.370 \text{ in} = 3.808 \text{ ft} = 1.0926 \text{ yd}$ $1 \text{ ft} = 12 \text{ in} = 0.3048 \text{ m}$ $1 \text{ in} = 2.54 \text{ cm}$
มวล	$1 \text{ kg} = 1000 \text{ g}$ $1 \text{ metric ton} = 1000 \text{ kg}$	$1 \text{ kg} = 2.2046226 \text{ lbm}$ $1 \text{ lbm} = 0.45359237 \text{ kg}$ $1 \text{ slug} = 32.174 \text{ lbm} = 14.5939 \text{ kg}$ $1 \text{ short ton} = 2000 \text{ lbm} = 907.1847 \text{ kg}$
กำลังและศักดิ์สิทธิ์ การถ่ายโอน ความร้อน	$1 \text{ W} = 1 \text{ J/s}$ $1 \text{ kW} = 1000 \text{ W} = 1.341 \text{ hp}$ $1 \text{ hp} = 745.7 \text{ W}$	$1 \text{ kW} = 3412.14 \text{ Btu/h} = 0.73756 \text{ lbf}\cdot\text{ft/s}$ $1 \text{ hp} = 550 \text{ lbf}\cdot\text{ft/s} = 0.7068 \text{ Btu/s}$ $= 42.41 \text{ Btu/min} = 2544.5 \text{ Btu/h}$ $= 0.74570 \text{ kW}$ $1 \text{ Btu/h} = 1.055056 \text{ kJ/h}$ $1 \text{ ton of refrigeration} = 200 \text{ Btu/min}$



ตาราง ก. 2 : แสดงแฟกเตอร์เปลี่ยนหน่วย (ต่อ)

Dimension	Metric	Metric/English
ความดัน	$1 \text{ Pa} = 1 \text{ N/m}^2$ $1 \text{ kPa} = 10^3 \text{ Pa} = 10^{-3} \text{ MPa}$ $1 \text{ atm} = 101.325 \text{ kPa}$ $= 1.01325 \text{ bar}$ $= 760 \text{ mmHg at } 0^\circ\text{C}$ $= 1.03323 \text{ kgf/cm}^2$ $1 \text{ mmHg} = 0.1333 \text{ kPa}$	$1 \text{ Pa} = 1.4504 \times 10^{-3} \text{ psia}$ $= 0.020886 \text{ lb/in}^2$ $1 \text{ psia} = 144 \text{ lb/in}^2 = 6.894757 \text{ kPa}$ $1 \text{ atm} = 14.696 \text{ psia}$ $= 29.92 \text{ inHg at } 30^\circ\text{F}$ $1 \text{ inHg} = 3.387 \text{ kPa}$
ความร้อนจำพวก	$1 \text{ kJ/(kg}\cdot^\circ\text{C)} = 1 \text{ kJ/(kg}\cdot\text{K)}$ $= 1 \text{ kJ/g}\cdot^\circ\text{C}$	$1 \text{ Btu/(lbm}\cdot^\circ\text{F)} = 4.1868 \text{ kJ/(kg}\cdot^\circ\text{C)}$ $1 \text{ Btu/(lbm}\cdot\text{R)} = 4.1868 \text{ kJ/(kg}\cdot\text{K)}$ $1 \text{ kJ/(kg}\cdot^\circ\text{C)} = 0.23885 \text{ Btu/(lbm}\cdot^\circ\text{F)}$ $= 0.23885 \text{ Btu/(lbm}\cdot\text{R)}$
ปริมาตรจำพวก	$1 \text{ m}^3/\text{kg} = 1000 \text{ L/kg}$ $= 1000 \text{ cm}^3/\text{g}$	$1 \text{ m}^3/\text{kg} = 16.02 \text{ ft}^3/\text{lbm}$ $1 \text{ ft}^3/\text{lbm} = 0.062428 \text{ m}^3/\text{kg}$
อุณหภูมิ	$T(\text{K}) = T(\text{^\circ C}) + 273$ $dT(\text{K}) = dT(\text{^\circ C})$	$T(\text{R}) = T(\text{^\circ F}) + 459.67 = 1.8 T(\text{K})$ $T(\text{^\circ F}) = 1.8 T(\text{^\circ C}) + 32$ $dT(\text{^\circ F}) = dT(\text{R})$ $= 1.8 dT(\text{K})$
ความเร็ว	$1 \text{ m/s} = 3.60 \text{ km/h}$	$1 \text{ m/s} = 3.2808 \text{ ft/s}$ $= 2.237 \text{ mile/h}$ $1 \text{ mile/h} = 1.609 \text{ km/h}$
ปริมาณ	$1 \text{ m}^3 = 1000 \text{ L}$ $= 10^6 \text{ cm}^3 (\text{cc})$	$1 \text{ m}^3 = 6.102 \times 10^4 \text{ in}^3 = 35.315 \text{ ft}^3$ $= 264.17 \text{ gal (U.S.)}$ $1 \text{ U.S gallon} = 231 \text{ in}^3 = 3.7854 \text{ L}$

ตาราง ก. 3 : แสดงคุณสมบัติของวัสดุ

วัสดุ	ความหนา (L)m	ค่าการนำความร้อน (k)W.m ⁻¹ .C ⁻¹	ค่าการแผ่รังสี ϵ
Cpac Monier	0.015	-	0.93
Al Foil (1)	0.001	0.025	0.03
Al Foil (2)	0.001	0.029	0.05
Ceiling	0.007	0.025	0.003
Ceiling gypsum	0.008	0.14	0.0903
Insulation	-	-	-
$R = 1.190 \Omega$			

* measured [Apinya pongnag, Thesis of Master Degree, KMITT, in preparation]

ตาราง ก.4 : แสดงค่าการถ่ายเทความร้อนจากการทดลองของแต่ละสภาวะ

เวลา	DN	DNI	DRI	DR	SR	SRI	SN	SNI	NI	RI
8:00	0.10	0.48	0.06	0.06	0.07	0.05	0.35	0.01	0.19	0.23
8:05	0.03	0.50	0.19	0.13	0.14	0.00	1.50	0.10	0.31	0.28
8:10	0.20	0.56	0.22	0.32	0.12	0.08	1.39	0.02	0.16	1.25
8:15	0.35	0.52	0.21	0.43	0.03	0.26	2.13	0.09	0.17	0.95
8:20	0.50	0.60	0.39	0.52	0.10	0.28	1.39	0.08	0.17	0.42
8:25	0.90	0.56	0.55	0.67	0.03	0.28	2.20	0.10	0.08	0.02
8:30	1.54	0.72	0.38	0.88	0.22	0.47	2.55	0.01	0.13	0.01
8:35	1.59	0.84	0.56	0.88	0.72	0.56	2.94	0.11	0.92	0.39
8:40	2.22	0.95	0.79	1.62	0.59	0.64	3.35	0.02	1.75	0.03
8:45	2.77	0.94	0.84	2.51	0.75	0.67	3.20	0.14	1.41	1.12
8:50	2.79	1.00	1.07	3.66	0.88	0.78	3.22	0.30	1.79	2.54
8:55	3.08	1.07	0.92	5.77	1.09	0.83	3.53	0.39	2.50	1.79
9:00	3.63	2.39	1.04	5.14	2.75	0.86	3.70	0.57	2.57	2.16
9:05	3.93	2.60	1.18	5.52	2.83	0.94	4.34	1.06	3.10	3.13
9:10	4.30	3.52	2.31	5.43	3.55	1.03	5.35	1.71	3.46	2.92
9:15	4.39	3.25	3.02	5.99	5.67	1.56	4.38	1.75	3.61	3.47
9:20	5.16	3.25	3.39	4.34	5.37	2.58	5.96	2.35	3.61	4.65
9:25	6.29	4.22	3.94	7.26	5.56	3.24	7.04	2.53	4.53	4.46
9:30	6.08	4.59	4.45	7.10	8.53	2.90	6.18	2.80	5.74	5.17
9:35	6.89	4.93	4.34	8.31	8.18	3.73	7.86	2.69	6.75	5.69
9:40	7.42	4.91	4.57	8.33	9.74	3.57	7.01	4.10	7.06	5.62
9:45	6.89	5.08	5.68	9.99	9.69	4.22	7.88	4.57	7.49	6.19
9:50	6.84	5.48	5.94	11.16	10.21	4.58	9.72	4.98	7.10	6.01
9:55	8.72	5.69	5.77	11.34	13.08	4.66	8.04	5.37	8.35	7.54
10:00	8.43	5.93	5.96	12.69	12.86	5.05	9.07	6.19	8.18	7.76
10:05	8.82	6.95	6.68	11.80	14.14	5.36	9.39	5.17	9.21	8.04
10:10	10.99	6.95	7.04	13.77	16.20	5.72	10.10	5.62	9.73	9.30
10:15	11.18	6.64	7.55	15.24	15.06	6.12	11.77	6.47	10.27	8.89

ตาราง ก.4 : แสดงค่าการถ่ายเทความร้อนจากการทดลองของแต่ละสภาวะ (ต่อ)

เวลา	DN	DNI	DRI	DR	SR	SRI	SN	SNI	NI	RI
10:20	13.35	8.40	7.86	14.26	18.66	5.83	13.76	7.25	9.71	10.21
10:25	12.68	8.57	7.89	14.99	17.52	6.75	10.63	6.23	10.07	10.03
10:30	14.04	8.42	7.60	16.14	17.76	6.59	9.78	7.98	10.26	10.53
10:35	14.84	8.67	8.81	15.97	20.07	7.61	11.18	7.44	10.49	11.71
10:40	16.10	8.47	8.70	18.00	19.41	7.08	12.69	8.19	11.10	13.15
10:45	17.23	9.47	9.52	19.41	21.51	7.45	11.60	8.02	11.61	12.58
10:50	16.73	10.34	9.31	18.71	23.14	8.06	11.28	9.37	11.97	13.42
10:55	15.86	9.66	9.45	20.89	23.62	8.81	14.76	10.38	12.09	13.69
11:00	16.01	10.26	10.18	21.70	24.03	8.26	15.00	9.74	12.90	15.13
11:05	17.30	10.09	10.80	21.26	22.36	7.17	14.29	11.76	13.79	15.93
11:10	16.77	10.29	10.64	22.94	23.21	7.72	15.78	10.99	14.40	16.97
11:15	18.21	10.50	9.78	21.33	23.46	9.39	15.16	10.83	15.56	17.00
11:20	19.97	10.65	10.94	22.46	24.95	9.71	15.80	11.73	15.15	17.45
11:25	19.34	11.00	11.50	26.24	25.98	9.85	18.01	11.72	15.25	19.28
11:30	18.12	11.63	11.44	26.20	27.72	9.90	18.01	12.69	15.03	17.25
11:35	19.90	11.67	12.39	26.96	27.68	10.31	17.61	11.67	15.37	17.22
11:40	19.84	11.95	11.78	29.48	27.31	10.62	16.77	12.70	16.76	20.20
11:45	18.48	12.49	12.54	27.16	28.82	11.04	21.85	12.46	16.12	20.85
11:50	17.70	12.19	12.79	25.30	29.94	11.49	16.89	12.68	16.74	20.16
11:55	22.54	13.12	13.41	29.39	28.76	11.13	18.39	12.80	17.54	20.27
12:00	21.46	11.85	13.50	30.46	27.79	11.84	17.13	16.24	16.37	21.97
12:05	21.87	13.51	14.03	29.15	31.46	11.99	19.26	16.18	17.07	21.62
12:10	23.81	13.30	13.23	28.48	30.02	10.89	21.60	16.11	17.64	23.10
12:15	22.60	13.71	14.92	29.08	33.88	12.22	19.17	17.16	19.00	21.90
12:20	23.98	13.41	15.71	29.68	32.90	13.08	20.11	16.87	18.63	22.41
12:25	21.58	13.42	15.76	30.66	32.66	13.40	14.08	18.12	16.77	23.17
12:30	25.21	13.57	15.81	30.42	34.23	13.66	14.17	17.92	17.25	24.01
12:35	24.54	14.56	16.32	30.07	34.93	14.09	12.09	17.75	18.07	24.25

ตาราง ก.4 : แสดงค่าการถ่ายเทความร้อนจากการทดลองของแต่ละสภาวะ (ต่อ)

เวลา	DN	DNI	DRI	DR	SR	SRI	SN	SNI	NI	RI
12:40	23.25	15.17	16.25	31.84	33.12	13.89	13.03	17.39	20.77	24.40
12:45	26.82	15.04	15.61	32.51	32.40	15.50	12.87	18.81	20.38	23.77
12:50	22.06	14.95	15.72	33.14	34.49	15.04	11.59	18.31	19.82	23.76
12:55	22.37	11.85	16.18	31.61	33.78	14.83	15.65	18.75	19.49	18.52
13:00	26.91	13.56	13.71	33.87	35.81	14.11	15.09	18.32	22.21	18.84
13:05	23.40	14.93	12.13	32.20	35.36	12.68	12.78	18.18	22.09	16.78
13:10	22.37	11.97	13.41	29.87	35.18	13.39	14.54	19.12	21.17	20.11
13:15	24.40	12.62	13.55	29.82	32.89	13.81	13.09	19.47	21.48	21.53
13:20	23.35	13.21	15.26	29.31	36.89	14.52	11.64	19.43	21.23	22.55
13:25	25.51	13.35	12.16	29.11	35.21	13.88	10.87	19.93	22.37	23.35
13:30	26.40	12.86	13.89	29.79	36.20	13.33	12.69	19.73	21.77	22.83
13:35	25.12	13.11	15.35	28.89	36.46	14.10	9.77	18.70	21.96	23.71
13:40	24.56	12.75	15.71	30.54	36.36	11.39	11.29	17.38	21.80	24.38
13:45	20.04	13.29	11.97	28.47	35.67	12.37	16.06	19.70	21.81	23.90
13:50	18.13	12.26	10.74	30.44	37.52	12.55	16.08	19.54	21.20	23.82
13:55	19.92	12.01	10.88	29.72	34.70	13.33	17.49	19.80	21.51	25.02
14:00	20.77	12.56	12.09	29.55	33.79	13.28	18.61	19.24	21.07	24.84
14:05	24.91	12.17	11.94	28.29	33.45	11.24	20.04	16.69	21.25	22.12
14:10	21.04	11.80	9.65	29.97	34.46	10.65	13.98	14.50	21.62	23.09
14:15	22.68	11.19	12.33	28.19	33.62	9.69	14.80	16.49	20.04	21.41
14:20	22.96	11.06	10.16	28.13	32.91	8.53	18.26	16.36	19.56	21.42
14:25	21.34	11.16	9.09	28.81	33.48	9.83	11.77	16.53	20.94	19.49
14:30	19.11	11.36	8.28	27.10	31.63	9.60	10.31	17.00	20.45	16.66
14:35	19.89	12.18	8.14	27.07	30.53	10.84	9.27	16.84	20.04	17.15
14:40	20.69	11.94	9.07	25.66	31.65	8.79	9.00	16.75	21.36	18.49
14:45	22.88	11.09	8.83	25.33	30.41	7.88	14.94	16.21	20.40	19.23
14:50	19.93	10.83	10.65	24.37	29.22	7.24	10.49	16.42	16.87	20.22
14:55	20.02	10.57	9.79	25.22	27.92	6.82	9.71	16.61	17.80	19.03

ตาราง ก.4 : แสดงค่าการถ่ายเทความร้อนจากการทดลองของแต่ละสภาวะ (ต่อ)

เวลา	DN	DNI	DRI	DR	SR	SRI	SN	SNI	Nt	RI
15:00	21.27	9.93	8.69	25.10	27.68	6.41	9.02	16.30	17.65	17.08
15:05	18.76	9.41	9.14	23.03	27.14	6.17	8.96	16.02	17.41	14.95
15:10	17.75	8.85	9.59	23.25	25.53	5.50	8.73	15.58	15.89	12.57
15:15	19.48	7.84	9.76	23.37	25.86	4.98	9.16	16.25	16.80	10.87
15:20	16.21	7.54	9.12	22.50	24.82	4.87	8.45	15.20	15.81	9.20
15:25	16.62	6.88	8.30	20.22	24.09	4.36	7.64	14.56	16.57	8.02
15:30	17.32	6.57	7.81	20.61	21.34	4.13	6.49	14.77	15.77	7.51
15:35	15.93	6.05	7.43	18.45	21.37	3.88	11.07	14.58	16.00	7.01
15:40	16.04	6.60	8.42	18.69	19.85	3.56	14.02	14.35	14.78	6.12
15:45	16.76	6.17	8.36	18.28	19.20	3.23	9.56	14.54	15.24	6.04
15:50	17.62	6.62	9.29	16.58	17.30	2.90	8.90	13.57	14.74	5.48
15:55	16.57	7.43	8.63	17.14	16.70	2.83	9.01	12.81	15.03	6.76
16:00	17.31	7.78	8.60	16.15	16.81	2.79	7.83	12.87	13.52	8.79
16:05	16.45	7.28	7.85	15.11	16.70	2.60	7.21	13.51	15.33	9.90
16:10	15.76	6.85	7.52	14.60	15.31	2.67	6.47	13.11	14.69	10.69
16:15	15.80	6.42	7.39	13.59	16.22	2.50	5.43	13.29	13.22	11.24
16:20	15.97	6.05	6.80	13.64	14.96	2.39	5.37	12.42	13.81	11.20
16:25	15.02	5.54	6.04	12.84	15.22	2.40	5.17	10.27	12.80	10.86
16:30	13.89	4.73	5.78	11.63	13.05	2.37	4.49	8.90	10.64	7.97

ภาคผนวก ช

วิธีการคำนวณ



1. การคำนวณหาค่าการถ่ายเทความร้อนของห้องใต้หลังคา

โดยสมการที่ 2.1

$$Q = UA\Delta T$$

โดยที่ค่าสัมประสิทธิ์การถ่ายเทความร้อนรวม สามารถหาได้จากสมการ 2.2

$$U_1 = \frac{1}{R_1 + R_2 + R_3 + R_4}$$

โดยที่ ค่าสัมประสิทธิ์การพาความร้อนอาคาร สามารถหาได้จากสมการที่ 2.10

$$h = Nu \frac{k}{L}$$

1.1 หาค่าความด้านตัวที่หนึ่ง R_1 ระหว่างแผ่นกระเบื้องซีแพคไมเนียกับบันแผ่นอลูมิเนียม พอยล์ลามารถหาได้จากสมการ 2.3

โดยยกตัวอย่าง สภาพที่ใช้แผ่นอลูมิเนียมพอยล์หน้าเดียร่วมกับผ้าเดานชนิดแผ่นเรียบ

กำหนดให้ แผ่นอลูมิเนียมพอยล์ ค่าการนำความร้อน (k) = $0.025 \text{ W.m}^{-1}.C^{-1}$

ค่าการแผรังสี (ϵ) = 0.03

ความหนาของฉนวน (L) = 0.001 m

ผ้าเดานชนิดแผ่นเรียบ ค่าการนำความร้อน (k) = $0.025 \text{ W.m}^{-1}.C^{-1}$

ค่าการแผรังสี (ϵ) = 0.03

ความหนาของฉนวน (L) = 0.007 m

ค่าการนำความร้อนของกระเบื้องซีแพคไมเนีย (k) = $0.93 \text{ W.m}^{-1}.C^{-1}$

จากสูตร

$$R_1 = \frac{1}{h_{c,CP-F} + h_{r,CP-F}}$$

หาค่า สัมประสิทธิ์การแผรังสีระหว่างกระเบื้องซีแพคไมเนียกับบันแผ่นอลูมิเนียมพอยล์ได้จาก

สมการ 2.7

$$h_{r,CP-F} = \frac{\sigma (T_{CP} - T_F)(T_{CP}^2 + T_F^2)}{\frac{1}{\epsilon_{CP}} + \frac{1}{\epsilon_P} - 1}$$

แทนค่า

$$h_{c, cp-F} = \frac{5.6697 \times 10^{18} \times (313 - 306) \times (313^2 + 306^2)}{\frac{1}{0.93} + \frac{1}{0.03} - 1}$$

$$h_{c, cp-F} = 0.002361 \text{ W.m}^{-2}.\text{C}^{-1}$$

ปีกตารางคุณสมบัติอากาศที่ความดันบรรยายกาศที่ $T_{cp-F} = 313 \text{ K}$ จะได้

$$\nu = 17.01 \times 10^{-6} \text{ m}^2 \text{s}^{-1}, k = 0.02722 \text{ W.m}^{-1}.\text{C}^{-1}, \text{Pr} = 0.705$$

ตัวเลขเรย์เลียร์ (Rayleigh Number,Ra) สามารถหาได้จากสมการ 2.11

$$Ra = \frac{g\beta \Delta T L^3}{\nu \alpha}$$

$$Ra = \frac{9.18(40-33)(0.015)^3(0.705)}{313 (1.70 \times 10^{-5})^2}$$

$$Ra = 1870.664 \Omega$$

หาตัวเลขนัสเซลท์ (Nusselt Number) ได้จากสมการ (2.13) ได้เท่ากับ 0.98

$$h = Nu \frac{k}{L}$$

$$h = 0.98 \frac{0.02722}{0.015} = 1.78 \text{ W.m}^{-2}.\text{C}^{-1}$$

ดังนั้น

$$R_1 = \frac{1}{0.002361 + 1.78} = 0.56 \Omega$$

1.2 ความด้านทานตัวที่สอง (R_2) ระหว่างบนแผ่นอุ่นเนี่ยมฟอยล์กับใต้แผ่นอุ่นเนี่ยมฟอยล์ (Ω) สามารถหาได้จากสมการ 2.4

$$R_2 = \frac{L}{k} = \frac{0.001}{0.025} = 0.04 \Omega$$

1.3 ความด้านทานตัวที่สาม (R_3) ระหว่างใต้แผ่นอุ่นเนี่ยมฟอยล์กับผ้าเพดาน (Ω) สามารถหาได้จากสมการ 2.5

$$R_3 = \frac{1}{h_{c,F-c} + h_{T,F-c}}$$

หาค่า สัมประสิทธิ์การแผ่รังสีระหว่างไดแอนอสูนีเนียมฟอยล์กับฝ้าเพดานได้จากสมการ 2.8

$$h_{r,BF-c} = \frac{\sigma (T_{BF} - T_c)(T_{BF}^2 + T_c^2)}{\frac{1}{\epsilon_{BF}} + \frac{1}{\epsilon_c} - 1}$$

แทนค่า

$$h_{r,BF-c} = \frac{5.6697 \times 10^{-18} \times (305 - 304) \times (305^2 + 304^2)}{\frac{1}{0.03} + \frac{1}{0.03} - 1}$$

$$h_{r,BF-c} = 0.00016 \text{ W.m}^{-2}\text{.C}^{-1}$$

เปิดตารางคุณสมบัติอากาศที่ความดันบรรยายกาศ ที่ $T_{cp-F} = 307 \text{ K}$ จะได้

$$\nu = 16.39 \times 10^{-6} \text{ m}^2 \text{ s}^{-1}, k = 0.02677 \text{ W.m}^{-1}\text{.C}^{-1}, Pr = 0.706$$

ตัวเลขเรย์เลีย (Rayleigh Number,Ra) สามารถหาได้จากสมการ 2.11

$$Ra = \frac{g\beta' \Delta T L^3}{\nu \alpha}$$

$$Ra = \frac{9.18(32-31)(0.46)^3(0.706)}{307 (1.619 \times 10^{-5})^2}$$

$$Ra = 8299646 \Omega$$

หาตัวเลขนัสเซลท์ (Nusselt Number) ได้จากสมการ (2.13) ได้เท่ากับ 12.16

$$h = Nu \frac{k}{L}$$

$$h = 12.16 \frac{0.0267}{0.46} = 0.719 \text{ W.m}^{-2}\text{.C}^{-1}$$

คั่งน้ำ

$$R_j = \frac{1}{0.00016 + 0.719} = 1.39 \Omega$$

1.4 ความต้านทานตัวที่ลี (R_4) ระหว่างฝ้าเพดานกับสภาพแวดล้อม (Ω) สามารถหาได้จากสมการ 2.6

$$R_4 = \frac{1}{h_{c,c-a} + h_{\tau,c-a}}$$

หากค่า สัมประสิทธิ์การแผ่รังสีระหว่างฝ้าเพดานกับอากาศได้จากสมการ 2.9

$$h_{\tau,c-a} = \varepsilon_c (T_c^2 + T_a^2) (T_c - T_a)$$

แทนค่า $h_{\tau,c-a} = 0.03 \times 5.6697 \times 10^{-8} (304^2 + 303^2) (304 - 303) = 0.00013 \text{ W.m}^{-2}.C^{-1}$

เปิดตารางคุณสมบัติอากาศที่ความดันบรรยายกาศ ที่ $T_{cp,F} = 305 \text{ K}$ จะได้

$$\nu = 16.19 \times 10^{-6} \text{ m}^2 \text{ s}^{-1}, k = 0.02661 \text{ W.m}^{-1}.C^{-1}, Pr = 0.706$$

ตัวเลขเรียลล์ (Rayleigh Number,Ra) สามารถหาได้จากสมการ 2.11

$$Ra = \frac{g \beta \Delta T L^3}{\nu \alpha}$$

$$Ra = \frac{9.18(31-33)(0.007)^3(0.706)}{305 (1.619 \times 10^{-5})^2}$$

$$Ra = 12.72 \Omega$$

หาตัวเลขนัสเซลล์ (Nusselt Number) ได้จากสมการ (2.13) ได้เท่ากับ 24271

$$h = Nu \frac{L}{k} = 24271 \frac{0.007}{0.02661} = 92264 \text{ W.m}^{-2}.C^{-1}$$

ดังนั้น $R_4 = \frac{1}{0.00013 + 92264} = 1.08 \times 10^{-5} \Omega$

1.5 สัมประสิทธิ์การถ่ายเทความร้อนรวม สามารถหาได้จากสมการ 2.2

$$U_t = \frac{1}{R_1 + R_2 + R_3 + R_4}$$

แทนค่า $U_t = \frac{1}{0.56 + 0.04 + 1.39 + 1.08 \times 10^{-5}} = 0.50 \text{ W.m}^{-1}.K^{-1}$

ดังนั้นค่าการถ่ายเทความร้อน เมื่อพื้นที่ = 1.44 m^2

$$Q = UA\Delta T$$

แทนค่า $Q = 0.50 \times 1.44 \times (40-30)$

$$Q = 7.2 \text{ W}$$

ดังนั้นค่าการถ่ายเทความร้อนของห้องใต้หลังคา เท่ากับ 7.2 W

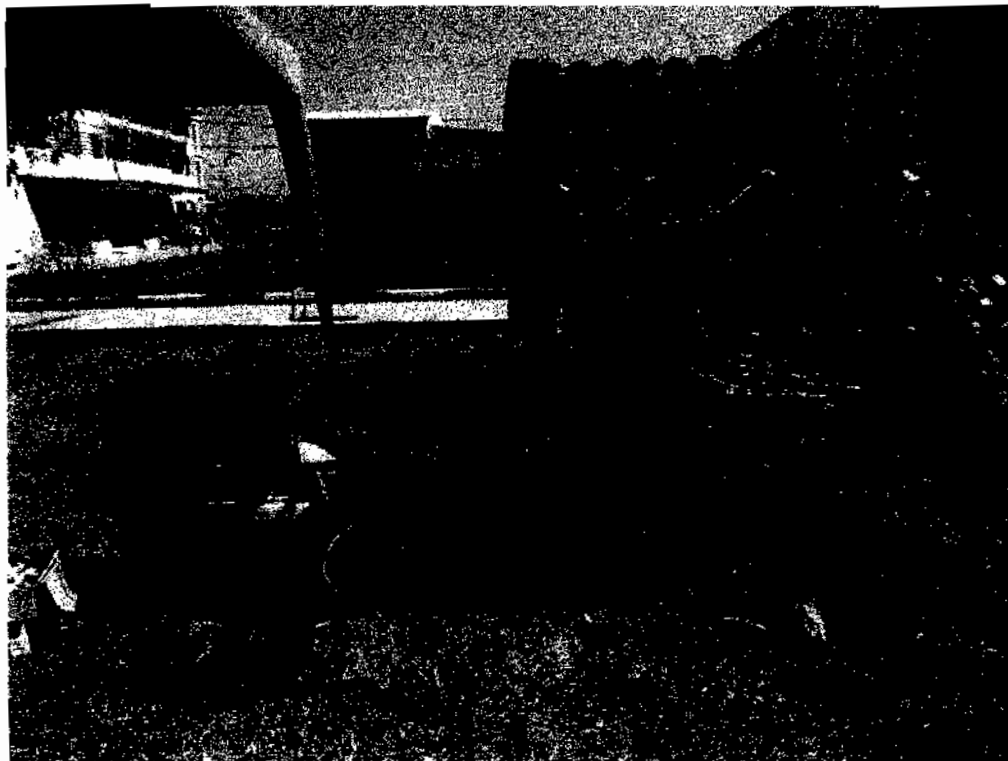
ภาคผนวก ค

ภาพประกอบการทดลอง

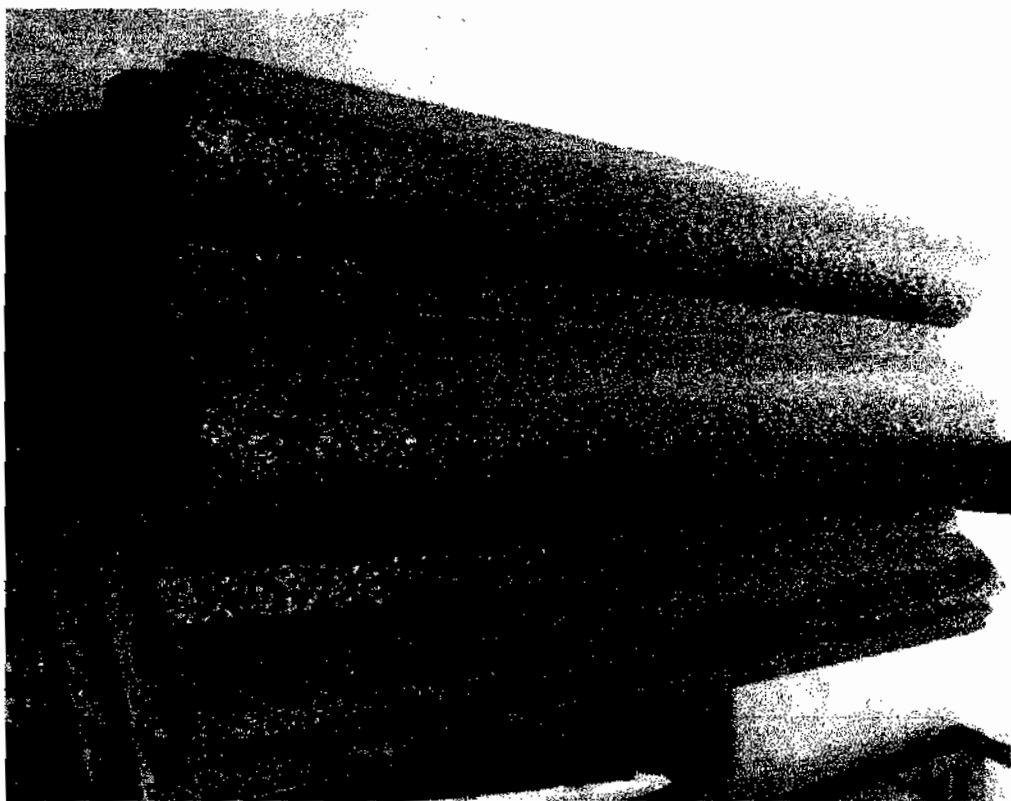




รูปที่ ค. 1: แสดงแบบจำลองบ้านที่ใช้ในการทดลอง



รูปที่ ค. 2 : แสดงลักษณะในการเก็บข้อมูล



รูปที่ ค. 3 : แสดงกระเบื้องชีแพคนไม้เนีย สีน้ำตาล



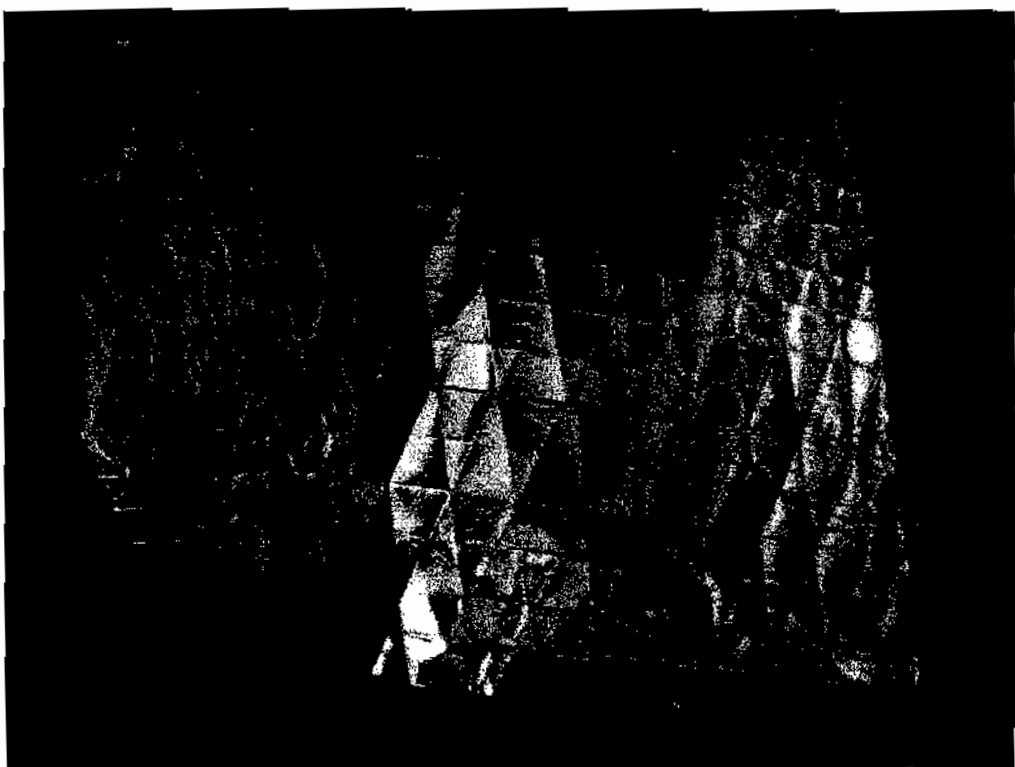
รูปที่ ค. 4 : แสดงผ้าเพดานชนิดแผ่นเรียบ



รูปที่ ค. 5 : แสดงฝ้าเพดานสะท้อนความร้อน



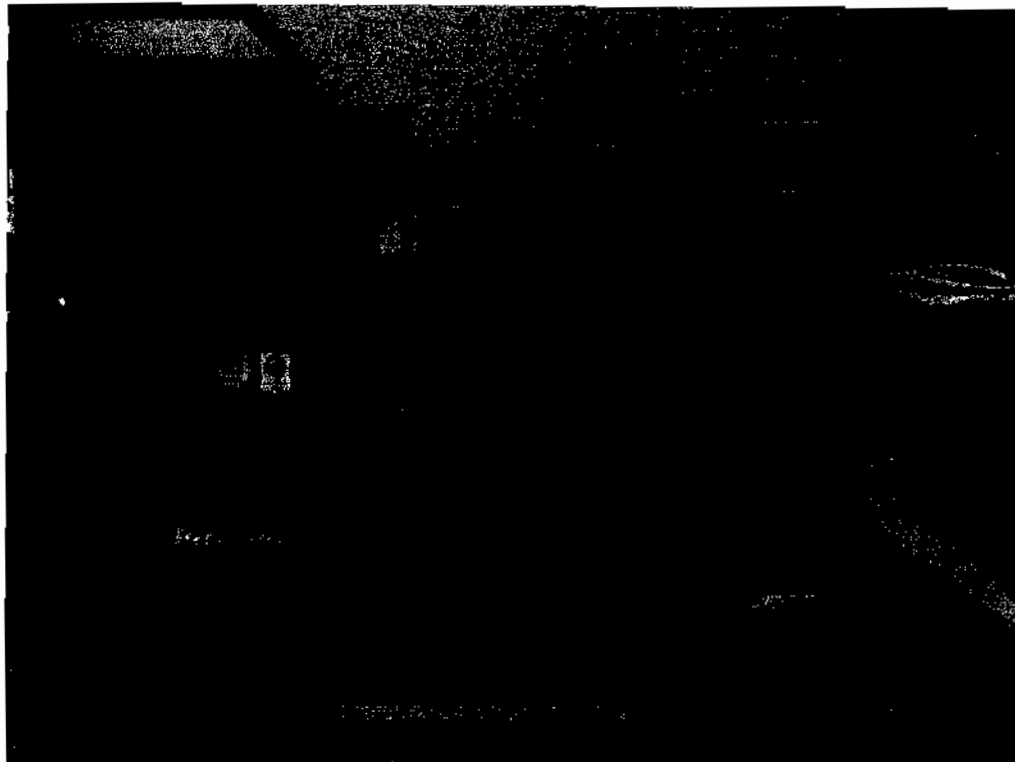
รูปที่ ค. 6 : แสดงจำนวนไยแก้ว



รูปที่ ค. 7 : แสดงอลูมิเนียมฟอยล์ชนิดสองหน้า CPAC Monier



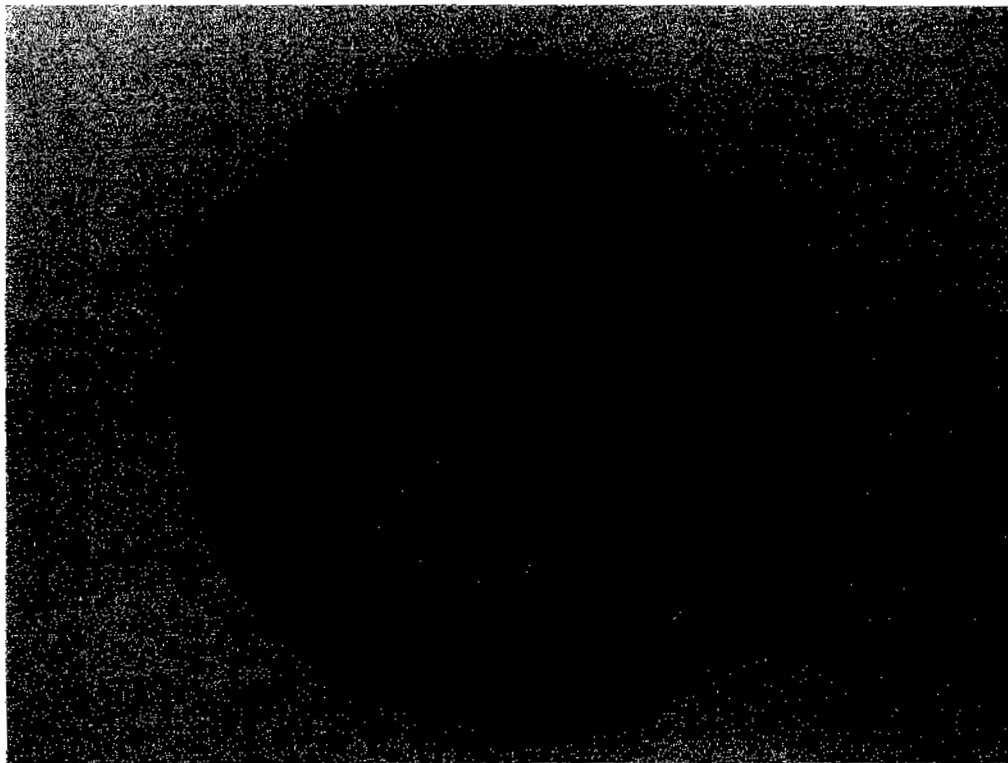
รูปที่ ค.8 : แสดงอลูมิเนียมฟอยล์ 1 หน้า รุ่น AF14000



รูปที่ ค.9 : แสดงชุดเครื่องคอมพิวเตอร์



รูปที่ ค.10 : แสดงเครื่องบันทึกข้อมูล (Data Logger) ยี่ห้อ YOKOGAWA รุ่น DX200



รูปที่ ค.11 : แสดงสายเทอร์มิคบับเบิล Type K

ประวัติย่อของผู้วิจัย



ประวัติย่อของผู้วิจัย

ชื่อ นางสาวนิศากร จันทร์เรือง
วันเกิด วันที่ 20 ตุลาคม พ.ศ. 2532
สถานที่เกิด อำเภอหนองเรือ จังหวัดขอนแก่น
สถานที่ที่อยู่ปัจจุบัน บ้านเลขที่ 116 หมู่ 6 ตำบลโนนสะอาด อำเภอหนองเรือ จังหวัด
ขอนแก่น 40210

ประวัติการศึกษา

พ.ศ. 2544 ประถมศึกษาจากโรงเรียนหนองคุมพุกใน叙事ส่วน จังหวัดขอนแก่น
 พ.ศ. 2544 มัธยมศึกษาตอนต้นจากโรงเรียนหนองเรือวิทยา จังหวัดขอนแก่น
 พ.ศ. 2550 มัธยมศึกษาตอนปลายจากโรงเรียนรัตนราชภูมิบำรุง จังหวัดราชบุรี
 พ.ศ. 2554 ปริญญาโทสาขาศาสตร์บัณฑิต (วท.บ.) สาขาวิศึกษาประยุกต์(พลังงาน)
 มหาวิทยาลัยมหาสารคาม

หมายเลขติดต่อได้ 086-7977909

E-mail address Nisakorn_ae@hotmail.com